

## บทที่ 3

### ผลการทดลอง

แบปค์ทีเรียเทอร์โนไฟล์ F13 TLS43 และ P2 ซึ่งคัดจากปอน้ำพุร้อนในจังหวัดเชียงใหม่ สามารถผลิตโปรดติอีสท์เสถียรต่ออุณหภูมิที่  $65^{\circ}\text{C}$  ได้<sup>(40)</sup> เมื่อเปรียบเทียบการผลิตโปรดติอีสส่องออกนอกเซลล์ของแบปค์ทีเรียทั้ง 3 ชนิด จึงได้เลือกศึกษาโปรดติอีสท์จากแบปค์ทีเรีย F13 จึงได้เตรียมเอนไซม์ให้เข้มข้นด้วยไอลอฟไลเซน ก่อนการแยกและทำบริสุทธิ์เมืองดันด้วยคอลัมน์ของ Sephadex G 100-120 พัฒนามกับได้ศึกษาคุณสมบัติของเอนไซม์ดังนี้

1. อุณหภูมิและพื้นที่เหมาะสมต่อการทำงาน
2. ผลของตัวยับยั้งและไอออนต่อการทำงาน
3. ความจำเพาะต่อสับสสารที่เป็นเอไมด์ FAGLA เอสเทอร์และการไฮโดรไลส์โปรดตีน
4. มวลโมเลกุล
5. จุดไอโซเอลেคตริก

#### 3.1 การคัดเลือกแบปค์ทีเรียเทอร์โนไฟล์ที่มีผลิตโปรดติอีส

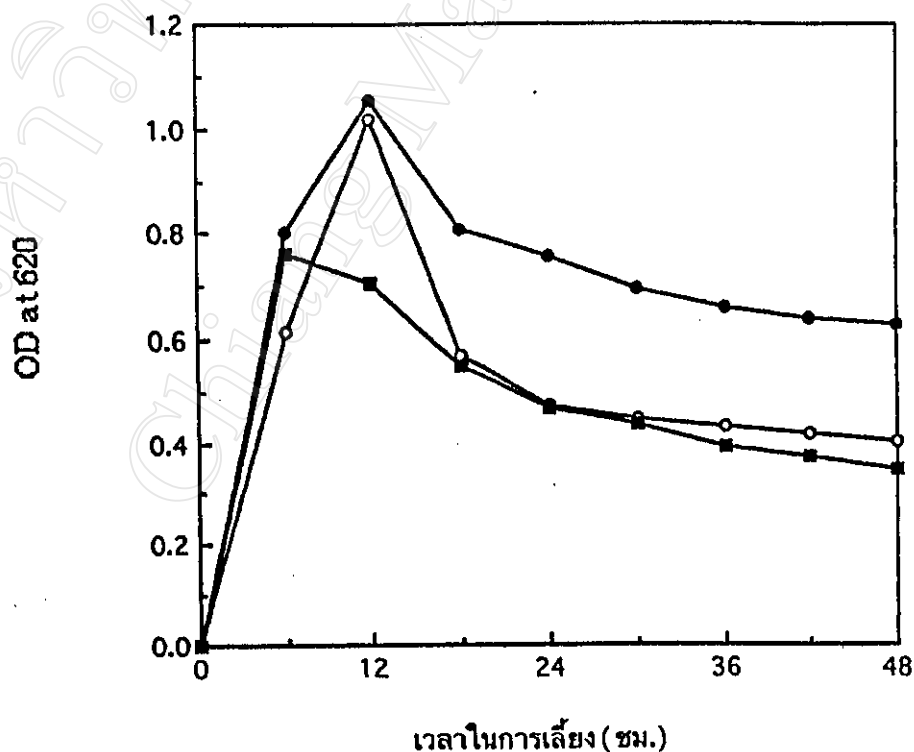
แบปค์ทีเรีย F13 TLS43 และ P2 สามารถผลิตโปรดติอีสส่องออกนอกเซลล์ในอาหารที่มีแหล่งคาร์บอนและในต่อเจนในสารละลายเยสฟัลพัมพ์อีช 7.2 ที่  $65^{\circ}\text{C}$  ในสภาวะที่มีการขยาย<sup>(40)</sup> ตั้งนั้นจึงได้นำมาศึกษาเปรียบเทียบการเจริญเติบโตและการผลิตโปรดติอีส เพื่อเลือกศึกษาสมบัติของโปรดติอีสจากแบปค์ทีเรียเพียงชนิดเดียว

#### 3.1.1 การเจริญเติบโตของแบปค์ทีเรียเทอร์โนไฟล์

ผลการเลี้ยงแบปค์ทีเรียเทอร์โนไฟล์ F13 TLS43 และ P2 ในอาหารเหลวที่ประกอบด้วยสิ่งสกัดจากเยลล์และทริปโทนอย่างละ 0.1% ในสารละลายเยสฟัลพัมพ์อีช 7.2 ให้การเจริญเติบโตดังตาราง 3.1 และรูป 3.1 ซึ่งพบว่า F13 มีการเจริญเติบโตได้ดีกว่าแบปค์ทีเรีย TLS43 และ P2 โดยมีอัตราการเจริญเติบโตสูงสุดในช่วง 12 ชั่วโมงแรกของการเลี้ยง หลังจากนั้นการเจริญเติบโตจะลดลงอย่างรวดเร็วถึงชั่วโมงที่ 18 และค่อย ๆ ลดลงจนถึงชั่วโมงที่ 48 ในขณะที่ TLS43 มีอัตราการเจริญเติบโตสูงสุดในชั่วโมงที่ 12 จากนั้นลดลงอย่างรวดเร็วในชั่วโมงที่ 18 และค่อนข้างคงที่ในช่วง 18-48 ชั่วโมง ส่วนอัตราการเจริญเติบโตของ P2 ต่ำสุด ณ ชั่วโมงที่ 6 ของการเลี้ยงและมีการเจริญเติบโตลดลงค่อนข้างคงที่หลังจากชั่วโมงที่ 18 เป็นต้นไป ซึ่งใกล้เคียงกับ TLS43

**ตาราง 3.1 การเจริญเติบโต ( $OD_{620}$ ) และแยกตัวเป็นกลุ่มของแบคทีเรีย F13 TLS43 และ P2 ชั่งเลี้ยงในสารละลายน้ำที่  $65^{\circ}\text{C}$**

ชั่งเมืองที่	$OD_{620}$			แยกตัวเป็นกลุ่ม (UA/ลบ.ซม.)		
	F13	TLS43	P2	F13	TLS43	P2
0	0	0	0	0	0	0
6	0.801	0.617	0.759	0.460	0.032	0.018
12	1.055	1.021	0.708	0.500	0.466	0.030
18	1.809	0.569	0.548	0.502	0.540	0.092
24	0.754	0.474	0.471	0.510	0.548	0.116
30	0.698	0.449	0.440	0.530	0.578	0.126
36	0.659	0.432	0.393	0.520	0.566	0.138
42	0.642	0.420	0.373	0.496	0.532	0.116
48	0.632	0.405	0.347	0.496	0.516	0.098



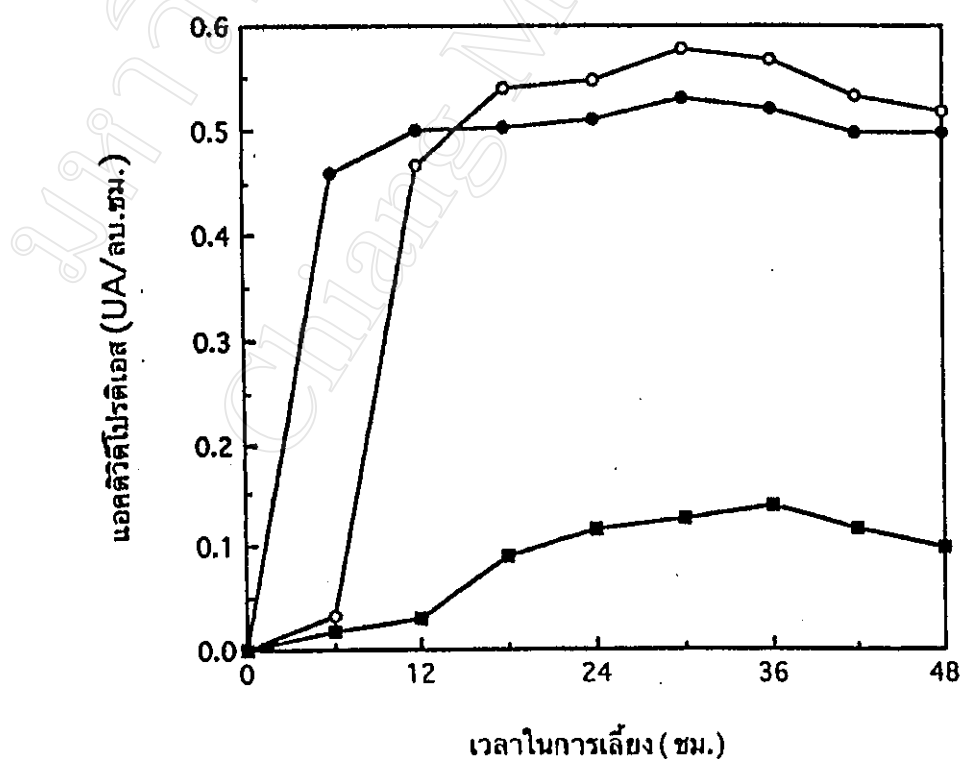
**รูป 3.1 การเจริญเติบโตของแบคทีเรีย F13 (●) TLS43 (○) และ P2 (■) ที่  $65^{\circ}\text{C}$  ในอาหารที่ประกอบด้วยสิ่งสกัดจากเยื่อสต์และทริปโนนอย่างละ 0.1% ในสารละลายน้ำส่วนผสมพื้นฐาน 7.2**

### 3.1.2 การผลิตปูร์ติอีส

แบคทีเรีย F13 TLS43 และ P2 สามารถผลิตปูร์ติอีสส่องอกเซลล์ ตั้งนั้นเมื่อเลี้ยงในสารละลายน้ำและแยกจากนอกเซลล์ออก จึงสามารถทราบว่าตอบสนองผลิตปูร์ติอีสของแบคทีเรีย ณ ช่วงเวลาต่าง ๆ ของการเจริญเติบโตได้โดยทราบว่าส่วนของแบคทีเรียปูร์ติอีสในสารละลายน้ำเลี้ยงซึ่งทำโดยใช้สารละลายน้ำปูร์ติอีสที่ได้จากการเลี้ยงเซลล์ ณ เวลาต่าง ๆ 0.5 ลบ.ม. ไนโตรไรส์เอโซเคชันที่  $65^{\circ}\text{C}$  เป็นเวลา 1 ชั่วโมง และวัดผลิตภัณฑ์ที่คุณภาพลีนแสงที่ 440 นาโนเมตร โดยกำหนดให้ 1 ยูนิตของปูร์ติอีสในหน่วยของเอโซเคชัน (UA) หมายถึง ปริมาณแ xenzyme ที่ทำให้เกิดผลิตภัณฑ์คุณภาพลีนแสงที่ 440 นาโนเมตร เพิ่มขึ้น 1 หน่วย ณ สภาวะทดลองในเวลา 1 ชั่วโมง ตั้งนั้นจึงคำนวนหา แอคติวิตี้ของปูร์ติอีสได้โดยความสัมพันธ์ดังนี้

$$\text{แอคติวิตี้ของปูร์ติอีสในสารละลายน้ำเลี้ยง} = 2 \times A_{440} \text{ UA/ลบ.ม.}$$

ผลการคำนวนหาแอคติวิตี้ของปูร์ติอีสที่แบคทีเรียทั้งสามผลิตส่องอกเซลล์ในช่วงเวลาต่าง ๆ ในการเลี้ยงแสดงได้ดังตาราง 3.1 และกราฟรูป 3.2 ซึ่งแสดงให้เห็นว่า TLS43 ผลิตปูร์ติอีสได้ใกล้เคียงกับแบคทีเรีย F13 แต่ต่ำกว่า P2 โดยพบว่า F13 มีอัตราการผลิตปูร์ติอีสสูงสุดในช่วง 6 ชั่วโมงแรกของการเลี้ยง ในขณะที่ TLS43 มีอัตราการผลิตปูร์ติอีสได้สูงสุดในช่วงชั่วโมง 6-12 จากนั้นอัตราการผลิตปูร์ติอีสจะค่อย ๆ ลดลงจนเกือบคงที่ตั้งแต่ชั่วโมงที่ 18 ของการเลี้ยง ในส่วนของ



รูป 3.2 แอคติวิตี้ในการไนโตรไรส์เอโซเคชันของปูร์ติอีสซึ่งผลิตจากแบคทีเรีย F13 (●)  
TLS43 (○) และ P2 (■) ในช่วงเวลาต่าง ๆ ของการเลี้ยงที่  $65^{\circ}\text{C}$

P2 นั้น มีอัตราการผลิตไปติเอกสารสูงสุดในช่วงชั่วโมงที่ 12-18 แล้วค่อยๆ เพิ่มขึ้นทีละน้อยจนถึงชั่วโมงที่ 36 จากนั้นจะค่อยๆ ลดลงเล็กน้อยจนถึงชั่วโมงที่ 48 ของการเลี้ยงเซลล์ เมื่อเปรียบเทียบผลผลิตไปติเอกสารแบบที่เรียกว่าสาม พบร้า TLS43 และ F13 ผลิตไปติเอกสารได้ใกล้เคียงกันซึ่งอยู่ในช่วง 500-600 UA/ลบ.ซม. แต่ P2 ผลิตไปติเอกสารสูงสุดที่ 138 UA/ลิตร ที่ชั่วโมงที่ 36 ซึ่งต่างกว่าแบบที่เรียกว่าสามนิดแรกประมาณ 3-4 เท่า

เนื่องจากการตรวจสอบแยกตัวของไปติเอกสารโดยวิธีไอล์สโตร์เชิง แบ็คที่เรียก TLS43 และ F13 สามารถผลิตไปติเอกสารได้ใกล้เคียงกัน จึงได้นำสารละลายน้ำเลี้ยงเดินต่อไปจากการเลี้ยงเซลล์ ณ เวลาต่างๆ มาตรวจสอบแยกตัวของไปติเอกสารโดยวิธีการไอล์สโตร์เชิง จากปฏิบัติการ เช่นการไอล์สโตร์ไปตินห้องไปติเอกสาร ซึ่งได้ผลิตภัณฑ์ซึ่งไม่ถูกผลกระทบต่อภัยคุกคามและมีค่าการคุณภาพสูงที่ 275 นาโนเมตรเท่านี้เดียวกับไอล์สโตร์เชิง ดังนั้นในการคำนวณหาแยกตัวตีกีฬาสลายเครื่องของไปติเอกสารซึ่งทำได้โดยเปรียบเทียบค่าการคุณภาพสูงที่ 275 นาโนเมตรของสารละลายผลิตภัณฑ์ที่ได้จากการทำงานของไปติเอกสารกับกราฟมาตราฐานไอล์สโตร์เชิง (ตาราง 3.2 และรูป 3.3) เท่านั้น ถ้าสารละลายตัวอย่างจากการไอล์สโตร์เชิงตัวอย่างไปติเอกสารจากตาราง 3.3 ให้ A<sub>275</sub> ซึ่งเมื่อเทียบกับกราฟมาตราฐานไอล์สโตร์เชิง รูป 3.3 สมมติให้เท่ากับ A ไม่ครึ่งรัม/ลบ.ซม.

$$\text{เนื่องจากสารละลายทั้งหมดในหลอดทดลองมีปริมาตร} = 3.5 \text{ ลบ.ซม.}$$

$$\text{ดังนั้นปริมาณไอล์สโตร์ในหลอดทดลอง} = 3.5 \times A \text{ ไม่ครึ่งรัม}$$

$$\text{ใช้สารละลายตัวอย่างไปติเอกสาร} = 0.5 \text{ ลบ.ซม.}$$

$$\text{นั่นคือสารละลายตัวอย่าง 1 ลบ.ซม. ทำให้เกิดไอล์สโตร์} = 3.5 \times A \text{ ไม่ครึ่งรัม}$$

$$0.5$$

$$\text{เวลาในการทำปฏิบัติฯไอล์สโตร์เชิง} = 60 \text{ นาที}$$

$$\therefore \text{สารละลายตัวอย่าง 1 ลบ.ซม. ทำให้เกิดไอล์สโตร์} = 3.5 \times A \text{ ไม่ครึ่งรัมนาที}$$

$$0.5 \times 60$$

เมื่อกำหนดให้ 1 ยูนิตของไปติเอกสารในหน่วยของเครื่อง (UC) เท่ากับ ปริมาณไอล์สโตร์ 1 ไม่ครึ่งรัมที่ถูกทำให้เกิดขึ้นในเวลา 1 นาที ที่สภาวะทดลองหนึ่ง ๆ

$$\text{ดังนั้นสารละลายตัวอย่าง 1 ลบ.ซม. จะมีแยกตัว} = 3.5 \times A \text{ UC}$$

$$0.5 \times 60$$

ซึ่งทำให้ได้สูตรทั่วไปในการหาแยกตัวของไปติเอกสารโดยการไอล์สโตร์เชิง ดังนี้  
แยกตัวของไปติเอกสาร (UC)

$$= AB$$

$$ET$$

**ตาราง 3.2 ค่าการดูดกลืนแสงที่ 275 นาโนเมตรของสารละลายมาตรฐานไกโกรีน  
ในช่วงความเข้มข้น 10-500 ไมโครกรัม/ลบ.ซม.**

ความเข้มข้นของไกโกรีน (ไมโครกรัม/ลบ.ซม.)	$A_{275}$
0	0
10	0.069
20	0.137
30	0.208
40	0.278
50	0.348
60	0.418
70	0.488
80	0.558
90	0.624
100	0.693
200	1.443
300	2.207
400	2.371
500	2.502

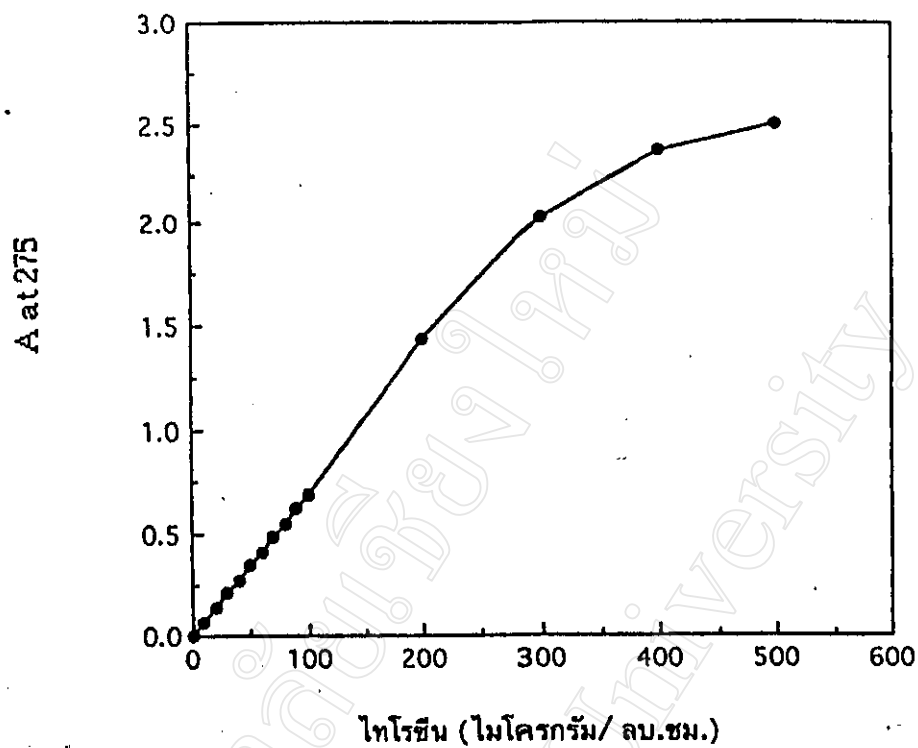
โดยที่ A คือ ความเข้มข้นของไกโกรีนจากกราฟ (ไมโครกรัม/ลบ.ซม.)

B คือ ปริมาณสารละลายทึ้งหมดในปฏิกิริยา (ลบ.ซม.)

E คือ ปริมาณเอนไซม์ที่ใช้ (ลบ.ซม.)

T คือ เวลา (นาที)

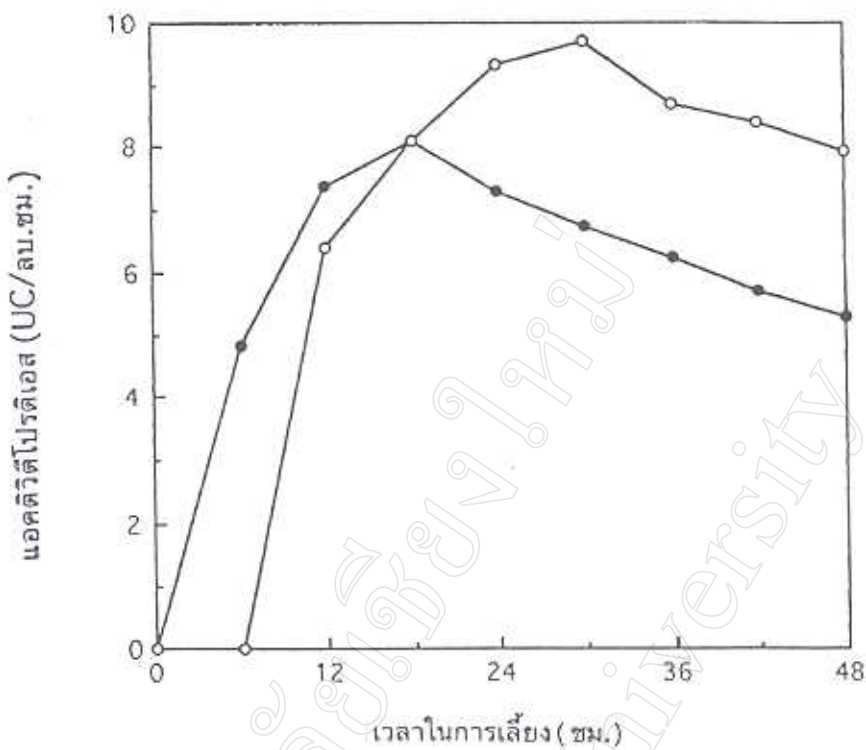
ผลการคำนวนหาแอคติวิตี้ไปร์ติอีสที่แบคทีเรีย F13 และ TLS43 ผลิตส่งออกเซลล์ในช่วงเวลาต่าง ๆ ของการเลี้ยงเซลล์แสดงได้ดังตาราง 3.3 และรูป 3.4 ซึ่งพบว่า TLS43 ผลิตไปร์ติอีสได้ดีกว่า F13 โดยที่ TLS43 มีอัตราเร็วของการผลิตไปร์ติอีสสูงสุดในช่วงชั่วโมงที่ 6-12 จากนั้นอัตราเร็วของการผลิตจะค่อย ๆ ลดลงจนถึงชั่วโมงที่ 30 ของการเลี้ยงและผลผลิตไปร์ติอีสลดลงหลังจากชั่วโมงที่ 30 จนสิ้นสุดการเก็บสารตัวอย่างในชั่วโมงที่ 48 ในขณะที่ F13 มีอัตราเร็วของการผลิตไปร์ติอีสสูงสุดในช่วง 6 ชั่วโมงแรกของการเลี้ยงเซลล์ แล้วค่อย ๆ ลดลงจนกระทั่งชั่วโมงที่ 18 จากนั้นแอคติวิตี้ไปร์ติอีสลดลงเช่นกัน จนสิ้นสุดการเลี้ยงเซลล์ ผลผลิตไปร์ติอีสสูงสุดของแบคทีเรีย TLS43 และ F13 พบที่ 9,700 และ 8,110 UG/ลิตร/นาที ตามลำดับ ในภาวะจัยครั้งนี้ได้เลือกศึกษาไปร์ติอีสจากแบคทีเรีย F13 ส่วน TLS43 นั้น มีผู้อื่นที่ได้ทำการทดลองไปพัวพัน กัน



ຮູບ 3.3 ການຝາມເຕັມສານໄທໂຮຈິນໃນການຫາແອຄຕິວິໂປຣີເອັດໂຍກາໄໂຄຣໄລສເຄື່ອນ

ຕາງໆ 3.3 ແອຄຕິວິຂອງໂປຣີເອສຈາກແບກທີເຮົຍ F13 ແລະ TLS43 ຈຶ່ງເລີ່ມໃນອາຫານເລກ  
ທີ່ມີສິ່ງສັກດຈາກຢືສຕ່າງໆ ແລະ ທີ່ມີປິໂຕກອນຍ່າງຄະ 0.1% ທີ່ 65°C

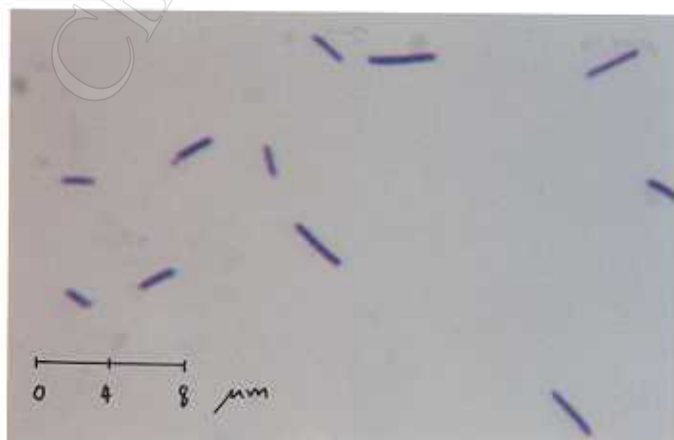
ຂໍ້ໄນນິ້ນທີ່	ແອຄຕິວິຂອງໂປຣີເອສ (UC/ລບ.ສມ.)	
	F13	TLS43
0	0	0
6	4.80	0
12	7.37	6.40
18	8.11	8.09
24	7.32	9.34
30	6.75	9.70
36	6.24	8.68
42	5.70	8.39
48	5.29	7.93



รูป 3.4 ผลตัวดีในการ茵โตรไลส์ทึนของประเทศไทย F13 (●) และ TLS43(○) ในอาหารที่ประกอบด้วยลิ่งลักต้ากับยาต์และกรีโนย่างละ 0.1% ในสารละลายเบตเตล์มีเข็ม 7.2

### 3.2 รูปร่างลักษณะของแบคทีเรียเทอร์โมไฟล์ F13

เมื่อได้เลือกศึกษาโปรดิวส์จากแบคทีเรีย F13 จึงได้ทราบขอบเขตของแบคทีเรีย พบก้า ข้อมติดสีน้ำเงิน-ม่วงของ crystal violet ดังรูป 3.5 แสดงว่าแบคทีเรีย F13 เป็นแบคทีเรียกรัมบวก จากภาพถ่ายผ่านกล้องจุลทรรศน์จะมีรูปร่างเป็นหòn และมีความยาว 1.2-4 μm จากชื่อมูลดังกล่าว คาดว่าแบคทีเรีย F13 เป็น *Bacillus* sp. ซึ่งเป็นแบคทีเรียกรัมบวก โดยที่เซลล์จะมีรูปร่างเป็นหòn ตรง และมีขนาด  $0.5-2.5 \times 1.2-10 \mu\text{m}$



รูป 3.5 รูปร่างลักษณะของแบคทีเรีย F13 ซึ่งถ่ายผ่านกล้องจุลทรรศน์ที่มีกำลังขยาย 200 เท่า

### 3.3 การเตรียมโปรดิโอสจากแนวคิดเรีย F13

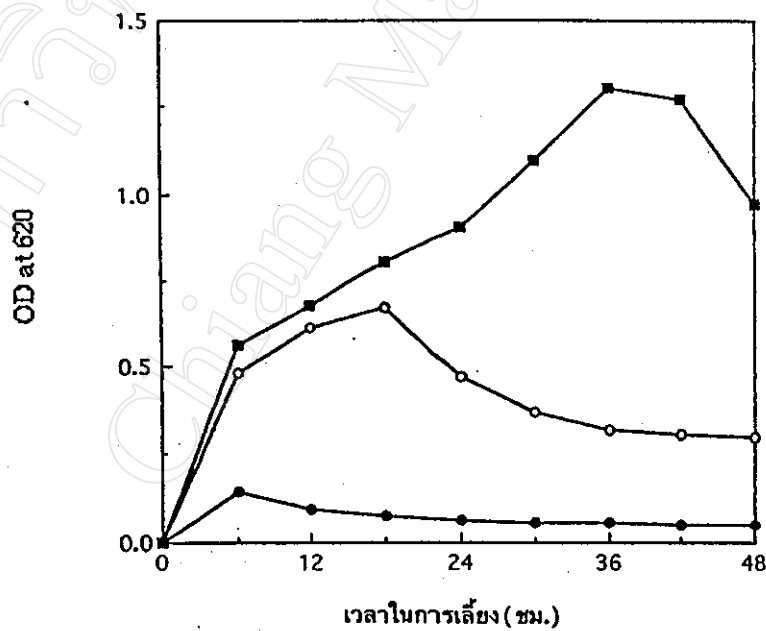
จากการศึกษาผลของชนิดอาหารที่ใช้เลี้ยง Thermus S2 โดยใช้อาหาร 3 กลุ่มประเภท ได้แก่ (1) สิ่งสกัดจากเยสต์และทริปโภนอย่างละ 0.1% ในสารละลายน้ำเบสฟัลส์ (ประกอบด้วยแร่ธาตุที่สำคัญอันได้แก่ แมกนีเซียม แคลเซียม เนสก์ และ Titriflex I ซึ่งเป็นแหล่งไนโตรเจน) 20-100% (2) สิ่งสกัดจากเยสต์และทริปโภนอย่างละ 0.2% ในสารละลายน้ำเบสฟัลส์ 100% และ (3) นมพร่องมันเนยที่มีความเข้มข้น 0.1-1.0% ในน้ำ พบว่าอาหารที่มีสิ่งสกัดจากเยสต์และทริปโภนอย่างละ 0.1% ในสารละลายน้ำเบสฟัลส์ 100% เป็นอาหารที่ทำให้เชื้อเจริญเติบโตและผลิตโปรดิโอสได้ที่สุด สำหรับการเพิ่มปริมาณสิ่งสกัดจากเยสต์และทริปโภนในสารละลายน้ำเบสฟัลส์อย่างละ 0.2% พบว่าแยกตัวตัวของโปรดิโอสเพิ่มขึ้นเพียง 13% และเมื่อเปรียบเทียบกับอาหารที่มีสิ่งสกัดจากเยสต์และทริปโภนในสารละลายน้ำเบสฟัลส์ พบว่าอาหารประภากวนพร่องมันเนยจะทำให้เชื้อชนิดนี้มีการผลิตโปรดิโอสได้น้อยและช้ากว่าประมาณเท่าตัว<sup>(9)</sup> นอกจากนี้ยังพบว่าแบคทีเรียที่เรียกว่าในไฟล์อื่นๆ เช่น F11, F13, P2, TLO43, TLS43, TP2, TP433, TP441, TP62 และ S12 ให้ผลผลิตโปรดิโอสได้ที่สุดในอาหารที่มีสิ่งสกัดจากเยสต์และทริปโภน<sup>(10)</sup> ดังนั้นจึงได้ศึกษาการผลิตโปรดิโอสของ F13 ในอาหารที่มีสิ่งสกัดจากเยสต์และทริปโภนที่ต่างกัน

ผลการเลี้ยงแบคทีเรีย F13 ในอาหารเหลวที่มีสิ่งสกัดจากเยสต์และทริปโภนอย่างละ 0.01, 0.1 และ 1.0% ในสารละลายน้ำเบสฟัลส์พีเอช 7.2 เมื่อติดตามการเจริญเติบโตและแยกตัวตัวของโปรดิโอสได้ผลดังตาราง 3.4 ซึ่งพบว่าการเจริญเติบโตของ F13 (รูป 3.6) ในอาหารเหลวที่มีสิ่งสกัดจากเยสต์และทริปโภนอย่างละ 1.0% มีมากกว่าในอาหารที่มีส่วนประกอบห้องส่องอย่างละ 0.1 และ 0.01% ตามลำดับ อัตราการเจริญเติบโตสูงสุดพบรที่ 36 ชั่วโมงของการเลี้ยงและค่อยๆ ลดลงในชั่วโมงที่ 36-48 ในขณะที่อาหารเหลวที่มีสิ่งสกัดจากเยสต์และทริปโภนอย่างละ 0.1% พบการเจริญเติบโตสูงสุด ณ ชั่วโมงที่ 18 ในช่วง 18-36 ชั่วโมงปริมาณเซลล์ค่อยๆ ลดลงและคงที่หลังจากชั่วโมงที่ 36 จนถ้วนสุด การเลี้ยงเซลล์ในชั่วโมงที่ 48 สำวนในอาหารเหลวที่มีสิ่งสกัดจากเยสต์และทริปโภนอย่างละ 0.01% พบการเจริญเติบโตน้อยมาก ซึ่งให้ค่า OD<sub>620</sub> ต่ำกว่า 0.15 นั่นคือการเจริญเติบโตของ F13 แบบผันตามปริมาณของสิ่งสกัดจากเยสต์และทริปโภน

ผลการผลิตโปรดิโอสของแบคทีเรีย F13 ซึ่งตรวจสอบแยกตัวตัวโดยมีเครื่องเป็นสับส胬รา แสดงได้ดังรูป 3.7 ซึ่งพบว่าในอาหารเหลวที่มีสิ่งสกัดจากเยสต์และทริปโภนอย่างละ 0.1, 0.01 และ 1.0% ได้ผลผลิตโปรดิโอสสูงสุดที่ชั่วโมงที่ 18, 12 และ 6 ที่ 574, 260 และ 152 UA/ลิตร ตามลำดับ ในขณะที่แยกตัวตัวในการไขโคโรโนส์เครื่นสูงสุดที่ 3985, 2450 และ 784 UC/ลิตร ตามลำดับ แสดงได้ดังรูป 3.8 โดยที่มีการผลิตโปรดิโอสได้มากที่สุด ณ ชั่วโมงที่ 12 ของการเลี้ยงเนื่องจาก นั่นคือสารละลายน้ำที่มีสิ่งสกัดจากเยสต์และทริปโภนอย่างละ 0.1% ทำให้ F13 เจริญเติบโตและผลิต

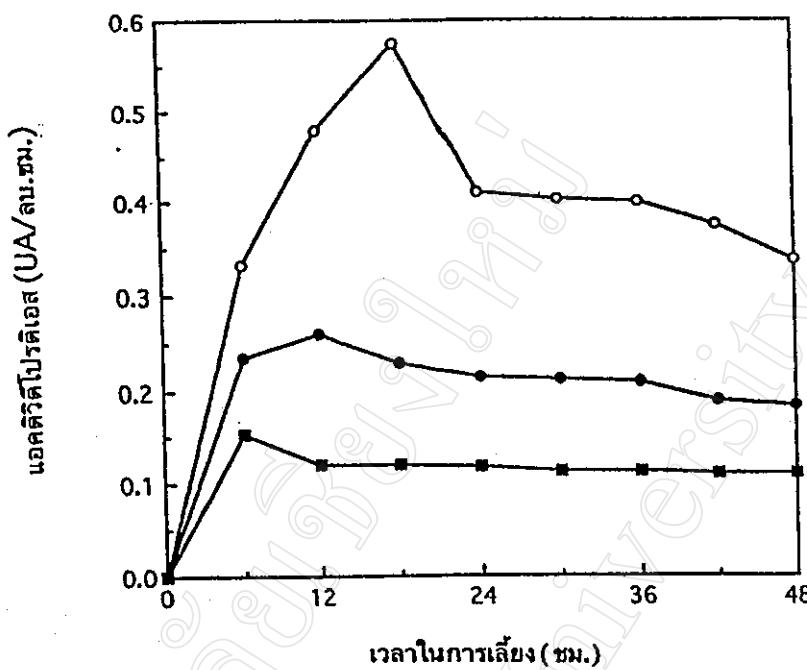
**ตาราง 3.4 การเจริญเติบโตของเซลล์และแยกตัวของป्रอตีโอลซึ่งได้จากการเลี้ยงแบคทีเรีย F13 ในสารละลายน้ำที่มีสิ่งสกัดจากเยื่อสต์และทริปโนอย่างละ 0.01-1.0% ที่ 65°C  
(เครื่องหมาย - หมายถึง ไม่ทำการทดสอบ)**

เวลาในการเลี้ยง (ชม.)	OD <sub>620</sub> ในอาหารเหลวที่มีสิ่งสกัดจากเยื่อสต์และทริปโน (%)			แยกตัวของป्रอตีโอล					
				UA/ลบ.ช.m.			UC/ลบ.ช.m.		
	0.01	0.1	1.0	0.01	0.1	1.0	0.01	0.1	1.0
0	0	0	0	0	0	0	0	0	0
6	0.148	0.408	0.561	0.234	0.332	0.154	-	-	-
12	0.096	0.611	0.676	0.260	0.480	0.122	0.784	3.985	2.450
18	0.078	0.671	0.805	0.230	0.574	0.122	-	-	-
24	0.065	0.471	0.904	0.214	0.410	0.118	0.490	3.299	2.026
30	0.058	0.369	0.100	0.212	0.404	0.114	-	-	-
36	0.054	0.319	0.302	0.210	0.402	0.114	0.261	2.123	1.830
42	0.053	0.301	0.273	0.188	0.376	0.110	-	-	-
48	0.053	0.295	0.975	0.184	0.338	0.110	0.147	2.107	1.438

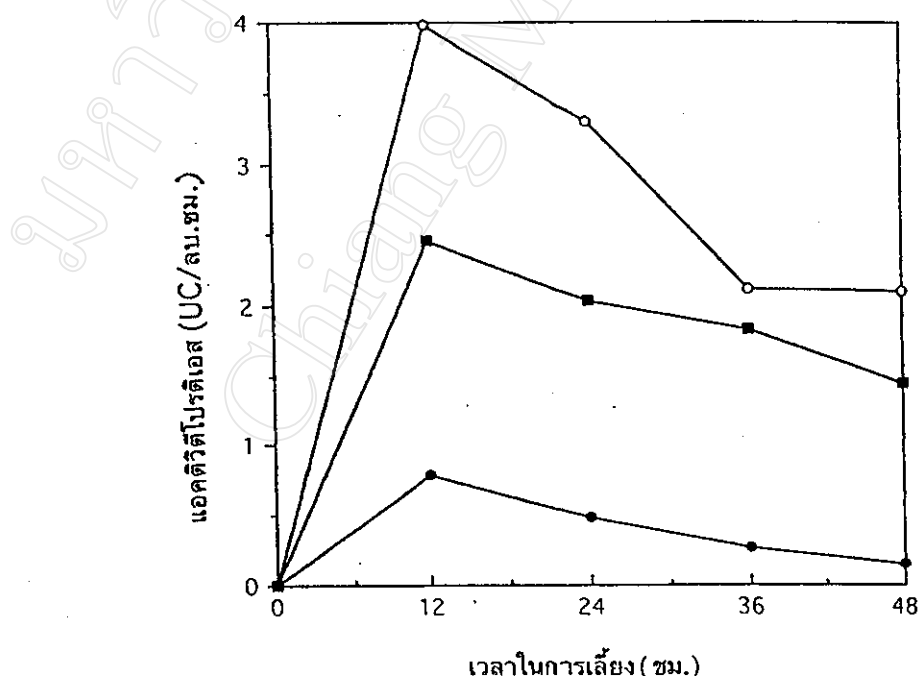


**รูป 3.6 การเจริญเติบโตของแบคทีเรีย F13 ซึ่งเลี้ยงที่ 65°C ในสารละลายน้ำที่มีสิ่งสกัดจากเยื่อสต์และทริปโนอย่างละ 0.01% (●), 0.1% (○) และ 1.0% (■)**

ป्रอตีโอลได้ดีกว่าในอาหารอีก 2 ชนิด ดังนั้นในการเลี้ยงแบคทีเรีย F13 จึงเลือกใช้อาหารเหลวที่มีสิ่งสกัดจากเยื่อสต์และทริปโนอย่างละ 0.1% ในสารละลายน้ำเบสสมพีโซช 7.2



รูป 3.7 ผลตัวตี่ในการใช้โดราไลส์เคิ่นของโพรัติโอลจากแบคทีเรีย F13 ชั่งเสี้ยงที่  $65^{\circ}\text{C}$  ในสารละลายน้ำที่มีสิ่งสกัดจากเยื่อสต์และทริปโนทินอย่างละ 0.01% (●), 0.1% (○) และ 1.0% (■)



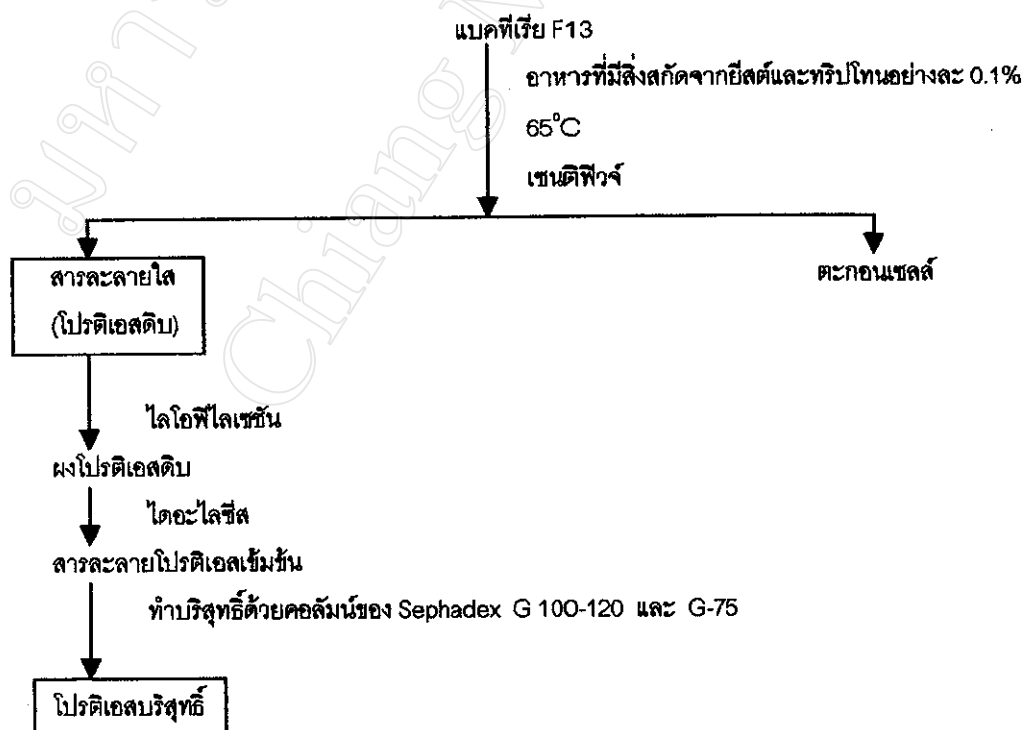
รูป 3.8 ผลตัวตี่ในการใช้โดราไลส์เคิ่นของโพรัติโอลจากแบคทีเรีย F13 ชั่งเสี้ยงที่  $65^{\circ}\text{C}$  ในสารละลายน้ำที่มีสิ่งสกัดจากเยื่อสต์และทริปโนทินอย่างละ 0.01% (●), 0.1% (○) และ 1.0% (■)

### 3.4 การทำบิสุทธิ์ปฏิอิเสที่ผลิตจาก F13

ผลการทดลองเลี้ยงแบคทีเรีย F13 ในอาหารซึ่งประกอบด้วยสิ่งสกัดจากเยลล์และทริปโนนอย่างละ 0.01-1% ในสารละลายเบสฟลูมีโซ 7.2 ด้วยอัตราการเช่า 200 รอบต่อนาที ที่อุณหภูมิ 65°C พบร่วมแบคทีเรียผลิตปฏิอิเสทได้สูงที่สุดจากการใช้ปริมาณสิ่งสกัดจากเยลล์และทริปโนอย่างละ 0.1% ในเวลา 12 ชั่วโมง ดังนั้นจึงได้เลือกเตรียมสารละลายปฏิอิเสทจากแบคทีเรีย F13 โดยการเลี้ยงเซลล์ในสภาวะดังกล่าวและทำปฏิอิเสทที่ได้นี้ให้บิสุทธิ์โดยใช้ขั้นตอนต่อไป ๆ ดังแผนผังที่ 3.9 ซึ่งเริ่มต้นจากการเตรียม **สารละลายปฏิอิเสทดิบ** โดยทำให้ไอโอดีไซเซนสารละลายปฏิอิเสทดิบและตามด้วยการทำจัดสารไม่เกลูลเล็กด้วยไ道อะไลซิสก่อนการแยกปฏิอิเสทให้บิสุทธิ์โดยใช้คอลัมน์ Sephadex G 100-120 และ G-75

#### 3.4.1 การเตรียม **สารละลายปฏิอิเสทดิบ**

เมื่อเลี้ยงแบคทีเรีย F13 ในสารละลายอาหารที่มีสิ่งสกัดจากเยลล์และทริปโนอย่างละ 0.1% ทำให้ได้สารละลายปฏิอิเสทดิบ 886 ลบ.ซม. ซึ่งได้แบ่งสารละลายเป็น 3 ส่วนเพื่อทำให้แห้งด้วยไอลோไฟล์ไซเซน เก็บผงปฏิอิเสทดิบรวมกันทั้งหมดได้ 3.53 กรัม (ตาราง 3.5) แบ่งผงปฏิอิเสทดิบ 1 กรัม ผสมกับ 0.02 M Tris-HCl บัฟเฟอร์ pH 7.2 10 ลบ.ซม. ทำไ道อะไลซิส 24 ชั่วโมงที่ 4°C ในสารละลายบัฟเฟอร์ดังกล่าว แยกสารละลายใส่เก็บไว้ซึ่งได้สารละลายทั้งหมด 12.6 ลบ.ซม. จากนั้นจึงวิเคราะห์หาแอคติวิตี้และโปรตีน



รูป 3.9 ขั้นตอนการทำปฏิอิเสทจาก F13 ให้บิสุทธิ

ตาราง 3.5 ปริมาณแรงป्रอตีโอลสติบจากการทำໄโลฟายเซ็น

ครั้งที่	สารละลายน้ำประเทสติบ (ลบ.ซม.)	แรงป्रอตีโอลสติบ (กรัม)
1	300	1.22
2	300	1.20
3	286	1.11
รวม	886	3.53

### 3.4.1.1 การหาแผลติวิตี้

ในการหาแผลติวิตี้โดยวิธีไซโตรไลส์โซโนเคนทั้งในสารละลายน้ำประเทสติบและໄ泠อะໄලส์  
ประเทสติบ ได้ใช้สารละลายน้ำประเทสติบ 500 ไมโครลิตร เท่ากัน และได้ค่า  $A_{440}$  จากการทดลองซึ่ง<sup>\*</sup>  
สามารถคำนวณหาแผลติวิตี้ของป्रอตีโอลสติบได้ดังนี้

$$\text{เช่น จากค่า } A_{440} \text{ ที่ได้จากการวิเคราะห์สารละลายน้ำประเทสติบ} = 0.261$$

$$\text{เนื่องจาก } 1 \text{ UA มีค่าเท่ากับ } A_{440} = 1 \text{ หน่วย}$$

$$\therefore \text{แผลติวิตี้ของป्रอตีโอลสติบ} = \frac{1}{0.50} \times 0.261$$

$$= 0.52 \text{ UA/ลบ.ซม.}$$

$$\text{และเนื่องจากสารละลายน้ำประเทสติบทั้งหมด} = 886 \text{ ลบ.ซม.}$$

$$\therefore \text{แผลติวิตี้ทั้งหมดของสารละลายน้ำประเทสติบ} = 886 \times 0.52 \text{ UA}$$

$$= 460.7 \text{ UA}$$

ในทำนองเดียวกันสามารถคำนวณหาแผลติวิตี้ของไ泠อะໄලส์ป्रอตีโอลสติบ ซึ่งผลการคำนวณ<sup>\*</sup>  
ได้สรุปไว้ในตาราง 3.6

ตาราง 3.6 แผลติวิตี้ของสารละลายน้ำประเทสติบและแรงป्रอตีโอลสติบที่ได้จากการเลี้ยงแบคทีเรีย F13 ใน

สารละลายน้ำ 1 ลิตร

แรงป्रอตีโอลสติบ	ปริมาณ	ปริมาณที่ใช้ทดสอบ (ลบ.ซม.)	$A_{440}$	แผลติวิตี้ของป्रอตีโอลสติบ	
				(UA/ลบ.ซม.)	ทั้งหมด (UA)
สารละลายน้ำ	886.00	0.50	0.261	0.52	460.7
ไ泠อะໄලส์ป्रอตีโอลสติบ	12.6	0.50*	0.196	9.80	123.5

\* เลือดาง 50 เท่าก่อนการทำลอง

### 3.4.1.2 การหาปริมาณโปรตีน

ในการหาปริมาณโปรตีนในสารละลายโดยตัวอย่างที่ได้มาในรูปแบบของสารละลาย Bradford ได้ใช้ BSA เป็นตัวอย่างมาตรฐาน ซึ่งเมื่อทำปฏิกิริยากับ Coomassie brilliant blue แล้ว ทำให้สารละลายที่มีค่า  $A_{595}$  ต่าง ๆ ดังตาราง 3.7 ซึ่งเมื่อเขียนกราฟมาตรฐานของโปรตีนทำให้ได้ผลลัพธ์ 3.10 ผลการวิเคราะห์หาปริมาณโปรตีนในสารละลายทั้งสองชนิด ๆ ละ 500 มิลลิลิตรทำให้ได้ค่า  $A_{595}$  ดังแสดงในตาราง 3.8 และสามารถคำนวณหาปริมาณโปรตีนได้ดังนี้

$$\text{สารละลายโปรตีโน่ } 500 \text{ มิลลิลิตร } A_{595} = 0.142$$

$$\text{เมื่อเทียบค่า } A_{595} \text{ กับกราฟมาตรฐานชุด } 3.10 \text{ ได้ปริมาณโปรตีน } = 4.65 \text{ มิลลิกรัม/ลบ.ซม.}$$

$$\text{เนื่องจากสารละลายทั้งหมดในหลอดทดลอง } = 1.5 \text{ ลบ.ซม.}$$

$$\text{ดังนั้นสารละลายโปรตีโน่ } 500 \text{ มิลลิลิตรมีโปรตีน } = 1.5 \times 4.65 = 6.98 \text{ มิลลิกรัม}$$

$$= 6.98 \text{ มิลลิกรัม}$$

$$0.500$$

$$= 13.96 \text{ มิลลิกรัม}$$

$$\therefore \text{สารละลายโปรตีโน่ } 1 \text{ ลบ.ซม. มีโปรตีน } = 13.96 \text{ มิลลิกรัม}$$

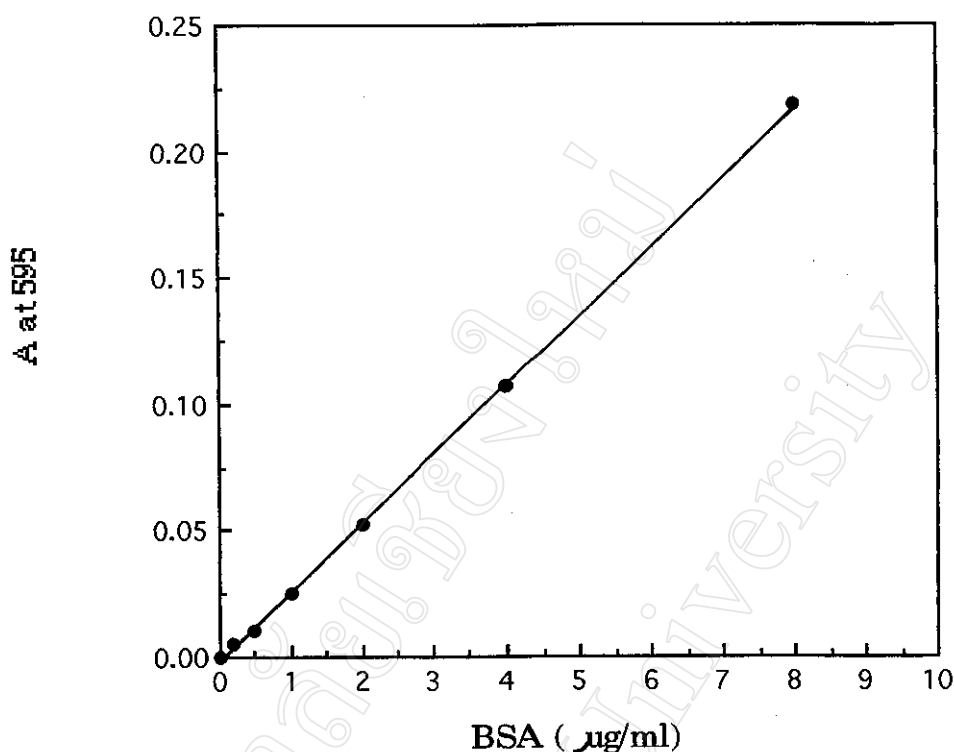
$$= 12.37 \text{ มิลลิกรัม}$$

ในทำนองเดียวกันสามารถคำนวณหาปริมาณโปรตีนของตัวอย่างในรูปแบบของสารละลาย BSA ที่ได้มาในรูปแบบของสารละลายที่มีค่า  $A_{595}$  ต่าง ๆ ดังตาราง 3.8

ตาราง 3.7 ค่าการดูดกลืนแสงที่ความยาวคลื่น 595 นาโนเมตรของสารละลาย BSA ที่

ความเข้มข้นต่าง ๆ โดยวิธี Bradford

ปริมาณ BSA (มิลลิกรัม/ลบ.ซม.)	$A_{595}$
0	0
0.2	0.005
0.4	0.011
1.0	0.025
2.0	0.053
4.0	0.107
8.0	0.219



รูป 3.10 กราฟมาตรฐานในการหาปริมาณโปรตีนโดยวิธี Bradford

ตาราง 3.8 ปริมาณโปรตีนของไดอะไลส์โปรดติอสติบที่ได้จากการเลี้ยงแบคทีเรีย F13 ในอาหาร 1 ลิตร

โปรดติอสติบ	ปริมาณ (ลบ.ซม.)	ปริมาณที่ใช้ทดสอบ (ลบ.ซม.)	$A_{595}$	โปรตีน	
				(มก./ลบ.ซม.)	หั้งหนมด (มก.)
สารละลาย	886.0	0.5	0.142	0.0139	12.37
ไดอะไลส์โปรดติอสติบ	12.6	0.5*	0.065	0.0030	0.38

\* เจือจาง 50 เท่าก่อนการทดลอง

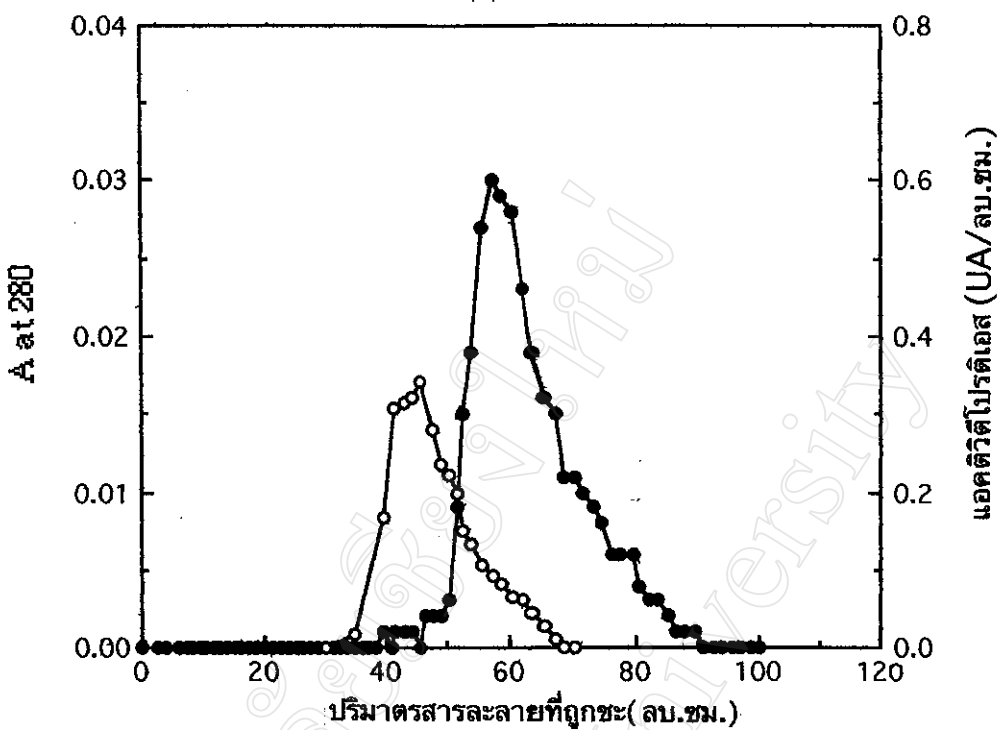
ผลการเลี้ยงแบคทีเรีย F13 ในสารละลายอาหาร 1 ลิตร ที่  $65^{\circ}\text{C}$  24 ชั่วโมง ทำให้ได้ผงโปรดติอสติบหั้งหนมด 3.535 กรัม ผลการหาแยกคติวิตีและปริมาณโปรตีนของสารละลายโปรดติอสติบและไดอะไลส์โปรดติอสติบ แสดงดังตาราง 3.6 และ 3.8 พบว่าสารละลายโปรดติอสติบจะมีแยกคติวิตีของโปรดติอสติบและปริมาณโปรตีนหั้งหนมดเท่ากับ 460.7 UA และ 12.37 มิลลิกรัม ตามลำดับ ในขณะที่ไดอะไลส์โปรดติอสติบมีแยกคติวิตีและปริมาณโปรตีนหั้งหนมดลดลงเหลือ 123.5 UA และ 0.38 มิลลิกรัม ตามลำดับ

### 3.4.2 การแยกโปรตีอีสด้วยคอลัมน์ Sephadex G 100-120

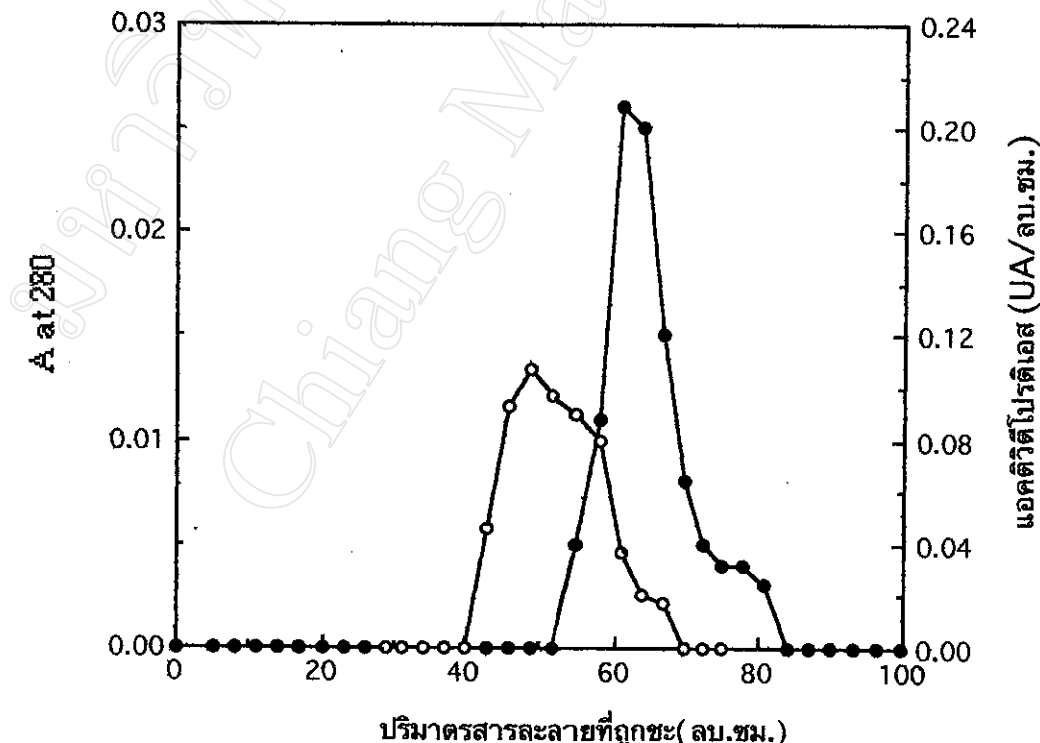
การแยกโปรตีอีสนั้น ได้เริ่มทำการแยกด้วยคอลัมน์ Sephadex G100-120 โดยเริ่มจากการทำให้ไอลีซสารละลายนองของโปรตีอีสติบ 1% (w/v) ละลายใน 0.02 M Tris-HCl บัฟเฟอร์ pH 7.2 ก่อนการแยกด้วยเจลฟิลเตอร์ทั้งหมด 8 ครั้ง โดยที่การแยกครั้งที่ 1-3 ใช้สารละลายน้ำมันโปรตีอีสติบ 0.1-0.2 ลบ.ช.m. ทั้งนี้เพื่อให้มีประสิทธิภาพในการแยกสาร ส่วนในการแยกครั้งที่ 4-8 ได้เพิ่มสารละลายน้ำมันโปรตีอีสติบเริ่มต้นให้มากขึ้นในช่วง 0.5-5.0 ลบ.ช.m. ผลการหาแอคติวิตีและปริมาณโปรตีนของสารละลายน้ำที่แยกได้แสดงดังตาราง 3.9 ซึ่งเนื้อความหมายหาแอคติวิตีและปริมาณของสารละลายน้ำมันโปรตีอีสติบ ทำให้ได้ผลดังสรุปในตาราง 3.9 โครงมาติแกรมจากการทำเจลฟิลเตอร์ทั้ง 8 ครั้ง ได้พิจารณาตัวอย่างทุกครั้ง และมีลักษณะคล้ายคลึงกันดังรูป 3.11 และ 3.12 ซึ่งได้จากการทำบิสทูฟ์ด้วยเจลฟิลเตอร์ครั้งที่ 1 และ 2 ตามลำดับ ผลจากการแยกโปรตีอีสทั้ง 8 ครั้งนี้ไม่ได้นำรวมกัน

ตาราง 3.9 แอคติวิตีโปรตีอีสและปริมาณโปรตีนของโปรตีอีส F13 ที่แยกด้วยคอลัมน์ Sephadex G 100-120

ครั้งที่	สารละลายน้ำ	ปริมาณ (ลบ.ช.m.)	แอคติวิตี			ปริมาณโปรตีน		
			A <sub>440</sub>	UA/ลบ.ช.m.	ทั้งหมด (UA)	A <sub>555</sub>	มก./ลบ.ช.m.	ทั้งหมด(มก.)
1	เริ่มต้น	0.10	0.070	46.67	4.67	0.031	0.331	0.033
	โปรตีอีสที่ได้	20.30	0.070	0.23	4.75	0.018	0.001	0.032
2	เริ่มต้น	0.20	0.070	28.00	5.60	0.108	0.562	0.110
	โปรตีอีสที่ได้	14.70	0.046	0.15	2.25	0.078	0.002	0.030
3	เริ่มต้น	0.20	0.050	20.00	4.00	0.168	0.872	0.170
	โปรตีอีสที่ได้	19.20	0.009	0.03	0.57	0.033	0.001	0.018
4	เริ่มต้น	0.50	0.252	12.60	6.30	0.030	0.090	0.045
	โปรตีอีสที่ได้	173.00	0.009	0.03	5.19	0.012	0.003	0.519
5	เริ่มต้น	1.00	0.220	11.00	11.00	0.025	0.240	0.240
	โปรตีอีสที่ได้	69.50	0.065	0.13	9.04	0.018	0.004	0.280
6	เริ่มต้น	3.00	0.239	11.95	35.85	0.051	0.495	1.485
	โปรตีอีสที่ได้	78.00	0.225	0.45	35.10	0.021	0.003	0.234
7	เริ่มต้น	3.00	0.252	12.60	37.80	0.038	0.075	0.225
	โปรตีอีสที่ได้	241.00	0.035	0.12	28.92	0.049	0.006	1.446
8	เริ่มต้น	5.00	0.252	12.60	63.00	0.030	0.060	0.300
	โปรตีอีสที่ได้	231.00	0.039	0.13	30.03	0.021	0.037	8.660



รูป 3.11 แอกติวิตีของโปรตีโนส์ (○) และ  $A_{280}$  (●) ของสารละลายต่าง ๆ ที่ได้จากการแยก  
โปรตีนที่ผลิตจาก F13 โดยใช้คอลัมน์ Sephadex G100-120 ครั้งที่ 1  
ขนาด 1.5x50 ซม.



รูป 3.12 แอกติวิตีของโปรตีโนส์ (○) และ  $A_{280}$  (●) ของสารละลายต่าง ๆ ที่ได้จากการแยก  
โปรตีนที่ผลิตจาก F13 โดยใช้คอลัมน์ Sephadex G100-120 ครั้งที่ 2  
ขนาด 1.5x50 ซม.

แต่ได้ใช้ทดสอบบमบติต่าง ๆ ของป्रอตีโอลโดยใช้ป์ปอตีโอลที่แยกได้ในแต่ละครั้งดังได้กล่าวไว้ในวิธีการศึกษาสมบติป์ปอตีโอล เนื่องจากเมื่อพิจารณาขุปร่างและลักษณะของพีคแอดคติติที่ปรากฏทำให้คาดว่ามีป์ปอตีโอลมากกว่าหนึ่งชนิด แต่อาจจะเนื่องมาจากการใช้ป์ปอตีโอลเพิ่มต้นมากเกินไปประกอบกับประสิทธิภาพของ Sephadex G 100-120 (ของ Fluka) อาจไม่เพียงพอสำหรับแยกป์ปอตีโอลที่มีมวลโนเลกูลที่แตกต่างกันไม่มาก ดังนั้นจึงได้เปลี่ยนเป็นใช้ Sephadex G-75 (ของ Sigma) เพื่อทำให้มีการแยกของป์ปอตีโอลแต่ละชนิด

### 3.4.3 การแยกป์ปอตีโอลบริสุทธิ์ด้วยคลอรัฟ Sephadex G-75

การทำบริสุทธิ์ป์ปอตีโอลจากสารละลายที่ได้จากการโดยสารไอลส์ลงป์ปอตีโอลดิบ 1 กรัม มีปริมาณหั้งหมด 12.6 ลบ.ซม. โดยเจลฟิลเทชันเชิงมีคลอรัฟ Sephadex G-75 3 ครั้ง ครั้งที่ 1 และ 2 ใช้สารละลายป์ปอตีโอลเพิ่มต้นเท่ากัน 3 ลบ.ซม. ส่วนครั้งที่ 3 ใช้สารละลายเริ่มต้นเพียง 1 ลบ.ซม. ผลการแยกครั้งที่ 1 และ 2 แสดงดังตาราง 3.10 โดยที่การแยกครั้งที่ 1 พบป์ปอตีโอลบริสุทธิ์ถูกชะออกมากที่ fraction 10-34 ซึ่งเก็บสารละลายรวมกันได้ 87.4 ลบ.ซม. ในขณะที่การแยกครั้งที่ 2 ป์ปอตีโอลบริสุทธิ์ถูกชะออกมากที่ fraction 25-46 ซึ่งเก็บสารละลายรวมกันได้ 59.4 ลบ.ซม. ซึ่งเมื่อนำป์ปอตีโอลบริสุทธิ์เหล่านี้มาคำนวณค่าแอดคติติและป์ตีน จะได้ค่า  $A_{440}$  และ  $A_{595}$  ดังแสดงในตาราง 3.10 และสามารถคำนวณหาแอดคติติป์ปอตีโอลและปริมาณป์ตีนที่หั้งหมดตั้งสูญผลในตาราง 3.11 นั้นคือสารละลายป์ปอตีโอลบริสุทธิ์มีแอดคติติที่หั้งหมดเท่ากับ 13.37 และ 8.14 UA ตามลำดับ ซึ่งมีปริมาณป์ตีนที่หั้งหมดเท่ากับ 0.087 และ 0.149 มิลลิกรัม ตามลำดับ จากค่าที่ได้สามารถคำนวณค่าแอดคติติจำเพาะได้ โดยผลการคำนวณสูปในตาราง 3.11 ซึ่งพบว่าสารละลายป์ปอตีโอลบริสุทธิ์จาก การแยกหั้ง 2 ครั้ง มีแอดคติติจำเพาะเท่ากับ 153.68 และ 54.62 UA/mg. ตามลำดับ ในขณะที่ปอร์เซนต์ผลผลิตเหลืออยู่เพียง 79.58 และ 48.44% ตามลำดับ

ตาราง 3.10 แอดคติติของป์ปอตีโอลและปริมาณป์ตีนจากการทำบริสุทธิ์ป์ปอตีโอล F13 ด้วยคลอรัฟ Sephadex G-75

ครั้งที่	สารละลาย ป์ปอตีโอล	Fraction no.	ปริมาณ (ลบ.ซม.)	แอดคติติ		ปริมาณป์ตีน	
				$A_{440}$	UA/ลบ.ซม.	$A_{595}$	mg./ลบ.ซม.
1	เริ่มต้น	-	3.0	0.014	5.600	0.040	0.183
	บริสุทธิ์	10-34	87.4	0.046	0.153	0.043	0.001
2	เริ่มต้น	-	3.0	0.014	5.600	0.040	0.314
	บริสุทธิ์	25-46	59.4	0.041	0.137	0.071	0.002

### ตาราง 3.11 การทำบิสุทธิ์ป्रอตีโอล F13 ด้วยคอลัมน์ Sephadex G-75

ครั้งที่	สารละลายน้ำ	ปริมาณ โปรตีโอล (ลบ.ซม.)	แอคติวิตี้ (UA)	ปริมาณโปรตีน (มก.)	แอคติวิตี้จำเพาะ (UA/มก.)	ผลผลิต (%)
1	เริ่มต้น	3.0	16.80	0.549	30.60	100
	บิสุทธิ์	87.4	13.37	0.087	153.68	79.58
2	เริ่มต้น	3.0	16.80	0.943	17.82	100
	บิสุทธิ์	59.4	8.14	0.149	54.62	48.44

#### 3.4.3.1 การทำบิสุทธิ์ป्रอตีโอล

การแยกและทำบิสุทธิ์ป्रอตีโอลด้วยคอลัมน์ Sephadex G-75 ในครั้งที่ 3 ได้ใช้สารละลายน้ำโปรตีโอลที่ผ่านไอลอฟีล์ส 1.0 ลบ.ซม. ซึ่งมีแอคติวิตี้เท่ากับ 2.0 UA อะโปรตีนออกตัวย 0.02 M Tris-HCl บัฟเฟอร์พีเอช 7.2 ที่มี mM CaCl<sub>2</sub> เก็บสารละลายน้ำอย่าง fraction ละ 2 ลบ.ซม. จำนวน 85 fractions ซึ่งแต่ละ fraction มีค่า A<sub>280</sub> ตั้งต่างๆ 3.12 และเมื่อหาค่าแอคติวิตี้ของโปรตีโอลโดยใช้สารละลายน้ำอย่าง 0.30 ลบ.ซม. ได้ผลลัพธ์ในตาราง 3.13 และเมื่อเรียงกราฟแสดงค่า A<sub>280</sub> และแอคติวิตี้ของโปรตีโอลในแต่ละ fraction ได้ผลดังรูป 3.13 จะเห็นได้ว่าโปรตีโอลจาก F13 มีพื้นของโปรตีโอล 6 พีค แต่เนื่องจากพีค IV-VI มีแอคติวิตี้ต่ำมาก ( $<0.099$  UA) และมีปริมาณโปรตีนต่ำมาก ( $<0.01$  มก.) จึงไม่ได้ศึกษาโปรตีโอลทั้งสามนี้ แต่จะศึกษาเฉพาะโปรตีโอล I-III เท่านั้น สำหรับโปรตีโอล I ซึ่งถูกชะออกมากที่ปริมาตรระหว่าง 48-60 และเก็บสารละลายน้ำไว้ได้ 11.20 ลบ.ซม. โปรตีโอล II ถูกชะออกมากที่ปริมาตรระหว่าง 62-80 ซึ่งเก็บสารละลายน้ำไว้ได้ 18.30 ลบ.ซม. และโปรตีโอล III ถูกชะออกมากที่ปริมาตรระหว่าง 84-94 และเก็บสารละลายน้ำไว้ได้ 9.90 ลบ.ซม. ผลการคำนวนค่าแอคติวิตี้ (ปริมาตรกราวิเคราะห์ = 0.30 ลบ.ซม.) และโปรตีน (ปริมาตรกราวิเคราะห์ = 0.20 ลบ.ซม.) ของโปรตีโอลทั้งสามได้ค่า A<sub>440</sub> และ A<sub>595</sub> ตั้งแสดงในตาราง 3.13 และ 3.14 ตามลำดับ เมื่อคำนวนหา % ผลผลิตที่ได้กลับคืนและความบิสุทธิ์ของโปรตีโอลแต่ละชนิด ทำให้ได้ผลดังตาราง 3.15 ซึ่งจะเห็นได้ว่าโปรตีโอล F13 ชนิดที่แยกได้ คือโปรตีโอล I, II และ III มีความบิสุทธิ์เพิ่มขึ้น 2.43, 7.47 และ 1.27 เท่า ตามลำดับ และมีผลผลิต 15.10, 52.15 และ 4.95% ตามลำดับ นั่นคือ โปรตีโอล II มีผลผลิตและความบิสุทธิ์สูงที่สุด

#### 3.4.3.2 การตรวจสอบมวลโมเลกุลของโปรตีโอล

ผลการแยกโปรตีโอลบิสุทธิ์ (โปรตีโอล I, II และ III) ด้วยคอลัมน์ Sephadex G-75 ครั้งที่ 3 ซึ่งให้ผลดังรูป 3.13 ทำให้คำนวนหามวลโมเลกุลได้โดยประมาณค่าเปรียบเทียบกับกราฟมาตราฐาน

ตาราง 3.12 ค่า  $A_{280}$  และแยกตัวตี่ของโปรตีนที่ได้จากการแยกสารละลายไปรดีนจาก F13

ตัวยกคอลัมน์ Sephadex G-75 ขนาด  $1.5 \times 50.0$  ซม. (ครั้งที่ 3) ชั่งขณะเดียว 0.02 M

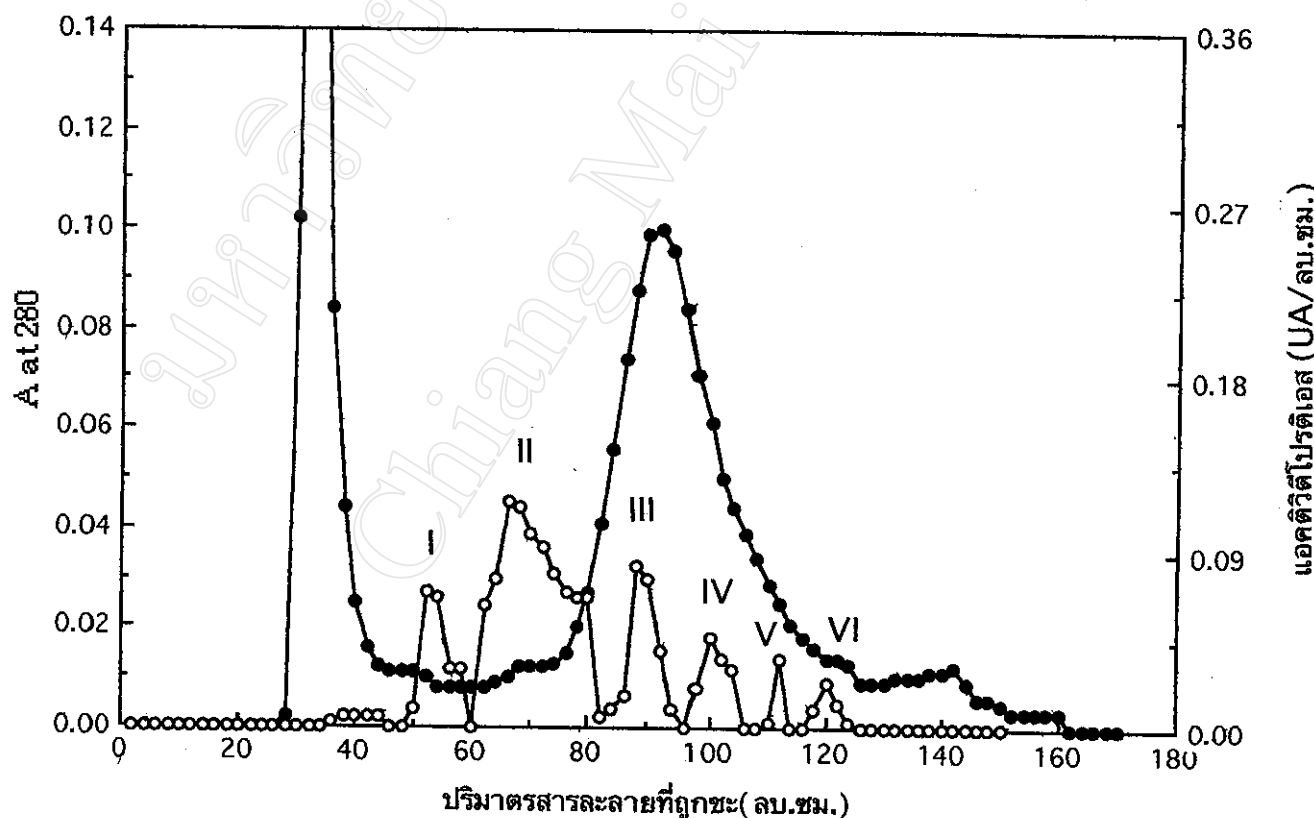
Tris-HCl บ๊าฟเฟอร์พีโอด 7.2 ที่มี 5 mM  $\text{CaCl}_2$  โดยเก็บ fraction ละ 2 ลบ. ซม.

Fraction no.	$A_{280}$	แยกตัวตี่		Fraction no.	$A_{280}$	แยกตัวตี่		Fraction no.	$A_{280}$	แยกตัวตี่	
		$A_{440}$	UA/ลบ. ซม.			$A_{440}$	UA/ลบ. ซม.			$A_{440}$	UA/ลบ. ซม.
14	0.002	0	0	35	0.012	0.030	0.100	56	0.025	0.011	0.036
15	0.102	0	0	36	0.012	0.028	0.093	57	0.021	0	0
16	0.304	0	0	37	0.013	0.024	0.080	58	0.018	0	0
17	0.190	0	0	38	0.015	0.021	0.070	59	0.016	0.003	0.010
18	0.084	0.001	0.003	39	0.020	0.020	0.167	60	0.014	0.007	0.023
19	0.044	0.002	0.006	40	0.027	0.020	0.067	61	0.014	0.004	0.013
20	0.025	0.002	0.006	41	0.041	0.002	0.006	62	0.013	0.001	0.003
21	0.016	0.002	0.006	42	0.056	0.003	0.010	63	0.009	0	0
22	0.012	0.002	0.006	43	0.074	0.005	0.016	64	0.009	0	0
23	0.011	0	0	44	0.088	0.025	0.083	65	0.009	0	0
24	0.011	0	0	45	0.099	0.023	0.076	66	0.010	0	0
25	0.011	0.003	0.010	46	0.100	0.012	0.040	67	0.010	0	0
26	0.010	0.021	0.070	47	0.096	0.003	0.010	68	0.010	0	0
27	0.008	0.020	0.067	48	0.084	0	0	69	0.011	0	0
28	0.008	0.009	0.030	49	0.071	0.006	0.020	70	0.011	0	0
29	0.008	0.009	0.030	50	0.061	0.014	0.046	71	0.012	0	0
30	0.008	0	0	51	0.050	0.011	0.036	72	0.009	0	0
31	0.008	0.019	0.063	52	0.044	0.009	0.030	73	0.006	0	0
32	0.009	0.023	0.076	53	0.039	0	0	74	0.006	0	0
33	0.010	0.035	0.116	54	0.034	0	0				
34	0.012	0.034	0.113	55	0.029	0.001	0.003				

ของโปรตีนมาตรฐานที่จะขอจากคอลัมน์นิดเดียว กับ  $V_0$  และ  $V_1$  ของคอลัมน์ตรวจสอนโดยใช้ Blue dextran และ Bromophenol blue ชั่งเท่ากับ 38 และ 130 ลบ. ซม. ตามลำดับ (รูป 3.14) ส่วนกราฟ มาตรฐานเตรียมจากโปรตีนมาตรฐานที่เลือกใช้ BSA, Ovalbumin, Carbonic anhydrase และ

ตาราง 3.13 แยกตัวตีของโปรตีอีสที่ได้จากการทำบีฟลูท์โปรตีอีสท์ผลิตจาก F13 ด้วยคอร์ลั่น Sephadex G-75 ครั้งที่ 3

สารละลายน้ำ โปรตีอีส	Fraction no.	ปริมาณ (ลบ.ซม.)	ปริมาณที่ใช้ ในการทดสอบ (ลบ.ซม.)	$A_{440}$	แยกตัวตีโปรตีอีส	
					(UA/ลบ.ซม.)	ห้ามมหิด (UA)
เริ่มต้น	-	1.0	0.5	0.020	2.000	2.000
โปรตีอีส I	24-30	11.2	0.3	0.008	0.027	0.302
โปรตีอีส II	31-40	18.3	0.3	0.017	0.057	1.043
โปรตีอีส III	42-47	9.0	0.3	0.003	0.010	0.099
โปรตีอีส IV	49-52	7.1	0.3	0.001	0.003	0.021
โปรตีอีส V	55-57	5.0	0.3	0.001	0.003	0.015
โปรตีอีส VI	59-61	6.1	0.3	0.002	0.006	0.036



รูป 3.13 แยกตัวตีของโปรตีอีส (○) และ  $A_{280}$  (●) ของสารละลายน้ำต่าง ๆ ที่ได้จากการแยกโปรตีนที่ผลิตจาก F13 โดยใช้คอร์ลั่น Sephadex G-75 ขนาด 1.5x50 ซม.

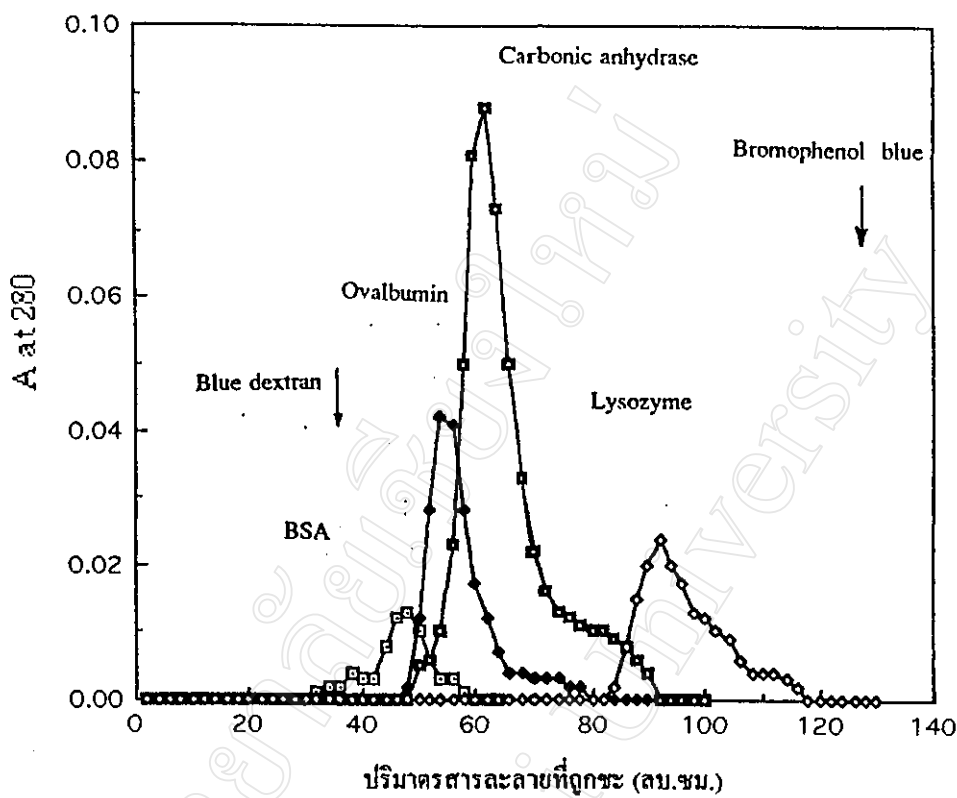
ตาราง 3.14 ปริมาณโปรตีนจากกระบวนการทำบริสุทธิ์เปรติโอลที่ผลิตจาก F13 ด้วยคอลัมน์ Sephadex G-75 ครั้งที่ 3

สารละลายน้ำ โปรตีโอล	Fraction no.	ปริมาณ (ลบ.ซม.)	ปริมาณที่ใช้ ในการทดสอบ (ลบ.ซม.)	$A_{285}$	โปรตีน	
					(มก./ลบ.ซม.)	หักหมุด (มก.)
เริ่มต้น	-	1.0	0.8	0.145	0.258	0.258
โปรตีโอล I	24-30	11.2	0.2	0.102	0.014	0.016
II	31-40	18.3	0.2	0.112	0.016	0.018
III	42-47	9.9	0.2	0.096	0.013	0.010
IV	49-52	7.1	0.2	< 0.096	< 0.013	< 0.010
V	55-57	5.0	0.2	< 0.096	< 0.013	< 0.010
VI	59-61	6.1	0.2	< 0.096	< 0.013	< 0.010

ตาราง 3.15 การทำบริสุทธิ์เปรติโอลที่ผลิตจาก F13 ด้วยคอลัมน์ Sephadex G-75

สารละลายน้ำ โปรตีโอล	ปริมาณ (ลบ.ซม.)	แอคติวิตี้หักหมุด (UA)	ปริมาณโปรตีนหักหมุด (มก.)	แอคติวิตี้จำเพาะ (UA/มก.)	ความบริสุทธิ์ (%)	ผลผลิต
เริ่มต้น	1.0	2.000	0.258	7.75	1.00	100.00
โปรตีโอล I	11.2	0.302	0.016	18.87	2.43	15.10
II	18.3	1.043	0.018	57.94	7.47	52.15
III	9.9	0.099	0.010	9.90	1.27	4.95

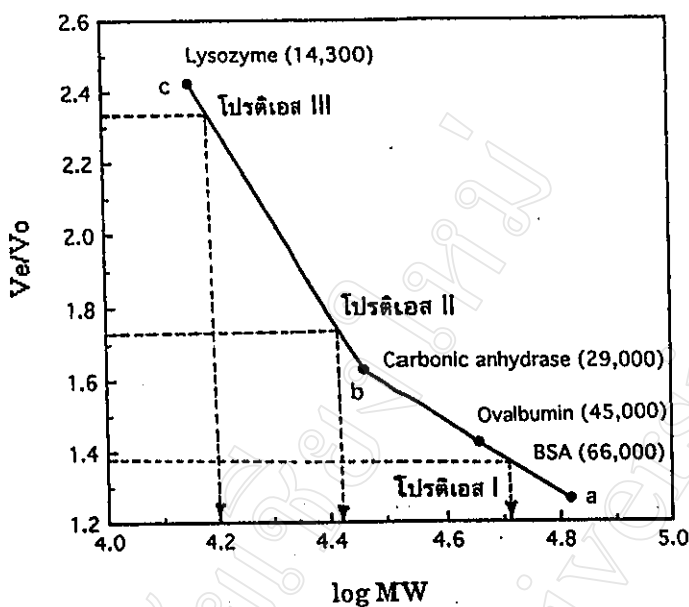
Lysozyme เมื่อผ่านโปรตีนมาตราฐานแต่ละชนิดลงในคอลัมน์ Sephadex G-75 ในสภาวะเดียวกับการทำบริสุทธิ์เปรติโอล ได้ผลดังปีกกรูป 3.14 ซึ่งทำให้ได้ปริมาณของกราฟโปรตีนมาตราฐานแต่ละชนิด ( $V_e$ ) และเมื่อนำกราฟระหว่าง  $V_e/V_0$  และ  $\log$  ของมวลโมเลกุลของโปรตีนมาตราฐานแต่ละชนิด (ตาราง 3.16) ได้ผลดังรูป 3.15 ในการหามวลโมเลกุลของโปรตีโอล I, II และ III นั้น ทำโดยอ่านค่าปริมาณของกราฟโปรตีโอลบริสุทธิ์ทั้งสามจากรูป 3.13 ซึ่งได้ผลดังตาราง 3.16 และเนื่องจาก  $V_0$  ของคอลัมน์ = 38 ลบ.ซม. ทำให้ได้อัตราส่วนของ  $V_e/V_0$  ที่สามารถเทียบหามวลโมเลกุลของโปรตีโอลทั้งสามได้จากกราฟมาตราฐานรูป 3.15 เช่น



รูป 3.14 ค่าการดูดกลืนแสงที่ความยาวคลื่น 280 นาโนเมตรของสารละลายนิโตรเจน  
มาตรฐานชนิดต่าง ๆ ได้แก่ BSA (66,000) Ovalbumin (45,000) Carbonic  
anhydrase (29,000) และ Lysozyme (14,300) เมื่อผ่านคอสัมบ์  
Sephadex G-75

ตาราง 3.16 ค่า  $V_e/V_0$  และ  $\log$  ของมวลโมเลกุลของโปรตีนมาตรฐานชนิดต่าง ๆ ที่ถูกชะออกจาก  
คอสัมบ์ Sephadex G-75

โปรตีนมาตรฐาน	ขนาดมวลโมเลกุล (ดาตตัน)	ค่า $\log$ ของมวลโมเลกุล	ปริมาตรว่างเปล่า (ลบ.ซม.)	$V_e/V_0$
BSA	66,000	4.819	48	1.263
Ovalbumin	45,000	4.653	54	1.421
Carbonic anhydrase	29,000	4.462	62	1.631
Lysozyme	14,300	4.155	92	2.421



รูป 3.15 กราฟมาตราฐานระหว่าง  $V_e/V_0$  และ  $\log MW$  ของโปรตีนมาตราฐานผ่าน Sephadex G-75 (1.5x50 ซม.)

โปรตีอีส I มีค่า  $V_e/V_0$  ตรงกับ

$$= 1.37$$

จากกราฟรูป 3.13 ที่  $V_e/V_0$  1.37 ได้  $\log MW$

$$= 4.74$$

ดังนั้น MW ของโปรตีอีส I

$$= 55,000 \text{ Dalton}$$

ในทำนองเดียวกันสามารถเปลี่ยนเทียบมาตราผลไม้เล็กของโปรตีอีส II และ III ได้ ซึ่งให้ผลดังสรุปในตาราง 3.17 ซึ่งจะเห็นว่ามาตราผลไม้เล็กของโปรตีอีส 3 ชนิดจากแยกที่ใช้ F13 อยู่ในช่วง 55,000-16,000 Dalton เนื่องจากในช่วงเดียวกัน  $V_e/V_0$  นั้น ได้จากการแยกของโปรตีนมาตราฐานเพียง 2 ชนิด ดังนั้นจึงใช้ SDS-PAGE ช่วยวิเคราะห์หา MW ของโปรตีอีส I และ II อีกวิธีหนึ่ง ส่วนโปรตีอีส III นั้น มีปริมาณน้อยมากจนไม่สามารถตรวจพบได้

ตาราง 3.17 มาตราผลไม้เล็กของโปรตีอีสบริสุทธิ์ที่ได้จากการผ่าน colloidal Sephadex G-75

โปรตีอีสบริสุทธิ์	ปริมาณที่ถูกใช้ (ลบ.ซม.)	$V_e/V_0$	$\log$ ของมวลไม้เล็ก	ขนาดมวลไม้เล็ก ( Dalton )
โปรตีอีส I	52	1.37	4.74	55,000
โปรตีอีส II	66	1.74	4.42	27,000
โปรตีอีส III	88	2.32	4.20	16,000

### 3.5 คุณสมบัติของโปรตีอส

#### 3.5.1 ค่าเอนไซด์อุณหภูมิที่เหมาะสม

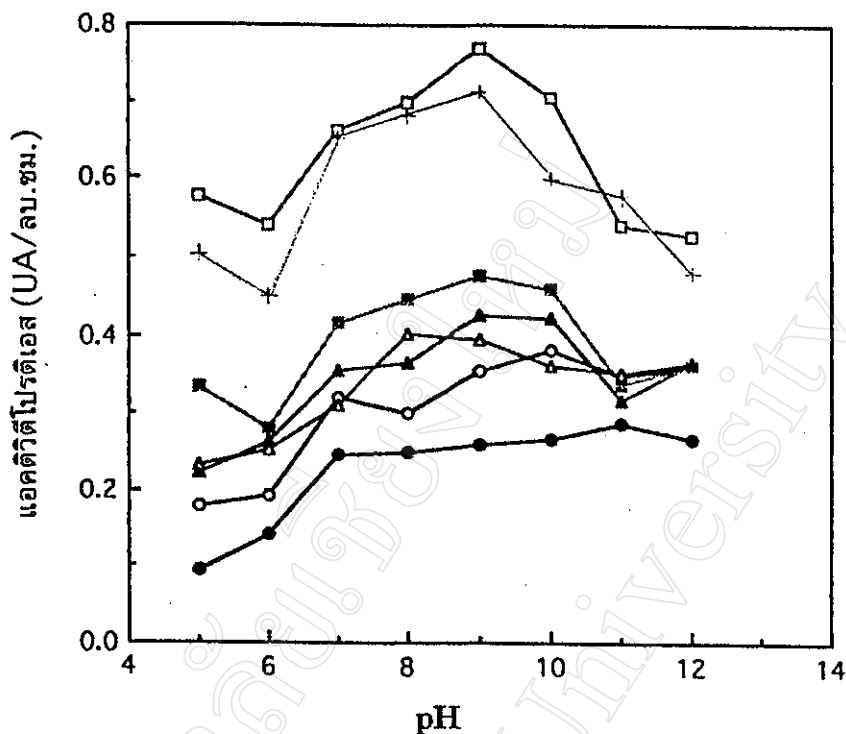
เมื่อนำไปประตีอส 0.3 ลบ.ซม. ไปนาแอกติวิตี้โดยการไชโตรีลส์เอโซเคชัน โดยใช้สารละลายเอโซเคชัน 0.2% ใน 0.02 M ของ Acetate, Phosphate, Tris-HCl และ Glycine-NaOH บัฟเฟอร์พีเอช 5-12 ที่อุณหภูมิ 40, 50, 60, 65, 70, 80 และ 90°C เป็นเวลา 1 ชั่วโมง คำนวนแอกติวิตี้ของโปรตีอสให้ผลสรุปดังตาราง 3.18 เมื่อเปรียบเทียบความสัมพันธ์ระหว่างแอกติวิตี้ของโปรตีอสกับอุณหภูมิและพีเอช 3.16 รังบบ่ง่ายแอกติวิตี้ของโปรตีอสสูงสุดเท่ากับ 0.770 UA/ลบ.ซม. ที่ อุณหภูมิ 80°C และพีเอช 9.0 ในขณะที่อุณหภูมิ 90°C พีเอชต่ำกว่า 7.0 และสูงกว่า 9.0 พบว่า แอกติวิตี้โปรตีอสมีค่าต่ำลง โดยเฉพาะที่พีเอช 7.0 และ 12.0 แอกติวิตี้ของโปรตีอสคงเหลือน้อย ส่วนอุณหภูมิในช่วง 40-70°C พีเอชต่ำกว่า 8.0 และสูงกว่า 9.0 พบว่าแอกติวิตี้โปรตีอสลดลงมาก โดยเฉพาะที่อุณหภูมิ 40°C แอกติวิต้มีค่าต่ำที่สุด ดังนั้นจึงสรุปได้ว่าโปรตีอสทำงานได้ดีที่สุดในสารละลายพีเอช 9 ที่ 80°C

ตาราง 3.18 แอกติวิตี้ของโปรตีอสที่อุณหภูมิและพีเอชต่าง ๆ

อุณหภูมิ (°C)	แอกติวิตี้ (UA/ลบ.ซม.) ณ พีเอชต่าง ๆ							
	5	6	7	8	9	10	11	12
40	0.094	0.142	0.246	0.250	0.260	0.266	0.286	0.268
50	0.180	0.194	0.322	0.300	0.354	0.382	0.348	0.362
60	0.222	0.264	0.356	0.366	0.424	0.422	0.318	0.366
65	0.232	0.252	0.312	0.402	0.394	0.360	0.350	0.366
70	0.334	0.280	0.416	0.444	0.476	0.458	0.338	0.362
80	0.576	0.540	0.660	0.700	0.770	0.706	0.504	0.526
90	0.503	0.450	0.653	0.683	0.713	0.600	0.576	0.480

#### 3.5.2 ผลของการขับยับยั้ง

การศึกษาผลของการขับยับยั้งที่มีต่อแอกติวิตี้ของโปรตีอส ซึ่งทำให้สามารถป้องกันนิ道士ของโปรตีอสได้นั้น ได้เลือกใช้ตัวขับยับยั้งชนิดต่าง ๆ ได้แก่ EDTA, 1,10-Phenanthroline, PMSF, Amastatin, Bestatin, Iodoacetic acid, Leupeptin และ Phosphoramidon เพื่อยับยั้งการไชโตรีลส์เอโซเคชันของโปรตีอส 0.50 ลบ.ซม. ที่ 80°C 1 ชั่วโมง คำนวนแอกติวิตี้ของโปรตีอสในหน่วย



รูป 3.16 ผลตัวต่อโปรตีอสในสารละลายพิเอชต่าง ๆ กัน เมื่อใช้เอนไซม์เป็นสับสเทราที่อุณหภูมิ  $40^{\circ}\text{C}$  (●)  $50^{\circ}\text{C}$  (○)  $60^{\circ}\text{C}$  (▲)  $65^{\circ}\text{C}$  (△)  $70^{\circ}\text{C}$  (■)  $80^{\circ}\text{C}$  (□) และ  $90^{\circ}\text{C}$  (+)

ของ UA ต่อโปรตีอส 1 ลบ.ช.m. และให้ผลสรุปดังตาราง 3.19 และ 3.20 เมื่อพิจารณาผลตัวต่อโปรตีอสเมื่อมีตัวยับยั้งชนิดต่าง ๆ เมื่อเทียบกับตาราง 1.5 ซึ่งจัดจำพวกของโปรตีอส ทำให้จัดประเภทของโปรตีอสชนิดนี้ได้ ผลการทดสอบด้วย Amastatin และ Bestatin (1-10  $\mu\text{M}$ ) ซึ่งทำให้แสดงตัวต่อโปรตีอสลดลง 22-40% จึงคาดว่ามีสมบัติเป็น exopeptidase ส่วนผลกระทบ ใช้ Iodoacetate (10-50  $\mu\text{M}$ ) ซึ่งทำให้มีการเปลี่ยนแปลงของตัวต่อโปรตีอสเป็น cysteine โปรตีอส ผลการเปลี่ยนแปลงของตัวต่อโปรตีอสมีใช้ Leupeptin (1-100  $\mu\text{M}$ ) ไม่สามารถตัดสินได้ว่ามีคุณสมบัติเป็น serine โปรตีอสหรือไม่ แต่มีผลต่อการลดลงของตัวต่อโปรตีอต (98%) เมื่อใช้ PMSF (10 mM) และถ่วงว่าควรจะมีลักษณะของ serine โปรตีอส ในขณะเดียวกันเมื่อพิจารณาผลการทดสอบของตัวต่อโปรตีอสเหลือเพียง 21% เมื่อใช้ EDTA 10 mM และถ่วงว่าโปรตีอสจากแบคทีเรีย F13 มีสมบัติของ metalloprotease ส่วนผลกระทบ 1,10-Phe-nanthroline และ phosphoramidon ซึ่งเป็นตัวยับยั้งของ metalloprotease นั้นไม่ชัดเจนเนื่องจาก EDTA นั้นคือ อาจทำให้สูงได้กว่าโปรตีอสที่ทดสอบนี้มีสมบัติของ Serine-metalloprotease

ตาราง 3.19 แอกติวิตีของป्रอตีโอลเมื่อมีตัวยับยั้งชนิดต่าง ๆ (-) หมายถึง ไม่ทำการทดสอบ

ชนิดตัวยับยั้ง	ความเข้มข้นตัวยับยั้ง (mM)											
	0		0.001		0.01		0.1		1		10	
	A <sub>440</sub>	UA/คบ. ซม.	A <sub>440</sub>	UA/คบ. ซม.	A <sub>440</sub>	UA/คบ. ซม.	A <sub>440</sub>	UA/คบ. ซม.	A <sub>440</sub>	UA/คบ. ซม.	A <sub>440</sub>	UA/คบ. ซม.
Bestatin	0.225	0.450	-	-	-	-	0.177	0.354	0.223	0.446	-	-
Iodoacetic acid	0.225	0.450	-	-	0.193	0.386	0.182	0.364	0.206	0.412	-	-
Leupeptin	0.225	0.450	-	-	0.188	0.376	0.184	0.368	0.193	0.386	-	-
1,10-Phenanthroline	0.225	0.450	-	-	-	-	0.203	0.406	0.179	0.358	0.184	0.368
Amastatin	0.225	0.450	0.137	0.274	0.180	0.360	-	-	-	-	-	-
Phosphoramidon	0.225	0.450	-	-	-	-	0.192	0.392	0.173	0.346	-	-
EDTA	0.225	0.450	-	-	-	-	0.173	0.346	0.218	0.436	0.048	0.096
PMSF	0.225	0.450	-	-	-	-	0.180	0.360	0.135	0.270	0.005	0.010

ตาราง 3.20 เปอร์เซนต์แอกติวิตีที่ป้ำกງเมื่อมีตัวยับยั้งชนิดต่าง ๆ (-) หมายถึง ไม่ได้ทดสอบ

ความเข้มข้น (mM)	% แอกติวิตีที่ป้ำกງ							
	Bestatin	Iodoacetic acid	Leupeptin	1,10-Phenan- throline	Amastatin	Phosphoramidon	EDTA	PMSF
0	100	100	100	100	100	100	100	100
0.001	-	-	-	-	60	-	-	-
0.01	-	85	83	-	80	-	-	-
0.1	78	80	81	90	-	87	76	80
1	99	91	85	79	-	76	85	60
10	-	-	-	81	-	-	21	2

### 3.5.3 ผลของการเพิ่มแมกนีเซียม

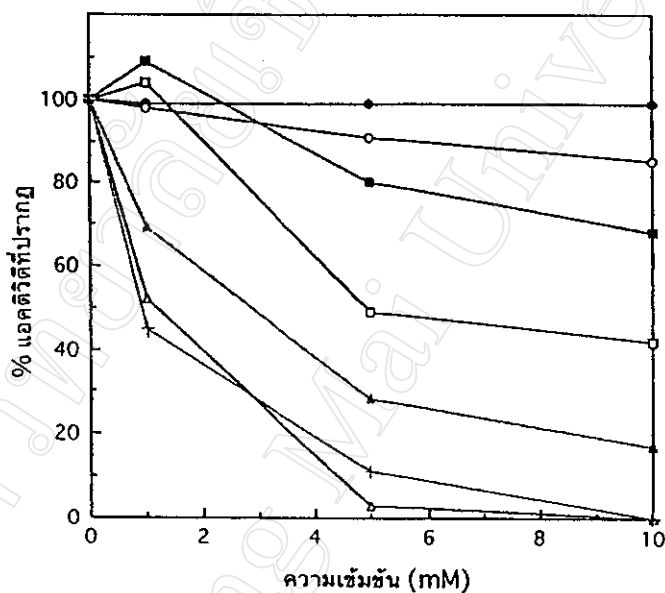
ผลการทดสอบอิทธิพลของตัวบัญชี้พบร่างโปรตีอีสจาก F13 จัดอยู่ในกลุ่ม metalloprotease ซึ่งเป็นโปรตีอีสที่ต้องการไอโอนเมทัลโลในการเพิ่มแมกนีเซียม เช่น  $\text{Ca}^{2+}$ ,  $\text{Mg}^{2+}$ ,  $\text{Zn}^{2+}$ ,  $\text{Mn}^{2+}$  และ  $\text{Co}^{2+}$  เป็นต้น ดังนั้นจึงได้ตรวจสอบการเปลี่ยนแปลงของแมกนีเซียมในโปรตีอีสจาก F13 ต่อไออกอนต่าง ๆ ผลการทดสอบของแมกนีเซียมในไออกอนตัวบัญชี้พบร่างโปรตีอีสในสภาวะที่มีไออกอนของ  $\text{Ca}^{2+}$ ,  $\text{Co}^{2+}$ ,  $\text{Cu}^{2+}$ ,  $\text{Fe}^{3+}$ ,  $\text{Mg}^{2+}$ ,  $\text{Mn}^{2+}$  และ  $\text{Zn}^{2+}$  ในช่วง 1-10 mM ได้แสดงว่าแมกนีเซียมในโปรตีอีสตั้งแต่ 0.05% จนถึง 3.21 และ 3.22 และให้ความสัมพันธ์ของแมกนีเซียมในโปรตีอีสที่ปรากฏกับความเพิ่มขึ้นของไออกอนโลหะแต่ละชนิดดังรูป 3.17 ซึ่งแสดงว่า  $\text{Mg}^{2+}$  1-10 mM ไม่มีผลทำให้โปรตีอีสมีแมกนีเซียมเปลี่ยนแปลง ส่วน  $\text{Ca}^{2+}$  ที่ความเพิ่มขึ้น 1-10 mM มีผลทำให้แมกนีเซียมในโปรตีอีสลดลง 2-15% ซึ่ง  $\text{Fe}^{3+}$  และ  $\text{Mn}^{2+}$  1 mM ในปฏิกิริยามีผลทำให้แมกนีเซียมเพิ่มขึ้น ในขณะที่ความเพิ่มขึ้นของ  $\text{Fe}^{3+}$  เพิ่มเป็น 5-10 mM ทำให้โปรตีอีสทำงานลดลงกว่า 50% ในทำนองเดียวกันความเพิ่มขึ้นของ  $\text{Mn}^{2+}$  เพิ่มเป็น 5-10 mM แมกนีเซียมในโปรตีอีสกลับลดลงเหลืออยู่เพียง 80-68% แต่สำหรับ  $\text{Cu}^{2+}$  1-10 mM แมกนีเซียมลดลงเหลือ 69-17% ในขณะที่  $\text{Co}^{2+}$  และ  $\text{Zn}^{2+}$  1-10 mM พบแมกนีเซียมในโปรตีอีสลดลงอย่างรวดเร็วเมื่อความเพิ่มขึ้นของไออกอนเพิ่มขึ้น (1-5 mM) โดยเฉพาะอย่างยิ่งที่ความเพิ่มขึ้นตั้งแต่ 5 mM ขึ้นไป พบการยับยั้งการทำงานของโปรตีอีสเกือบทั้งหมดและที่ 10 mM พบว่าไม่มีแมกนีเซียมเหลืออยู่ เมื่อพิจารณาผลของไออกอนทั้งหมดต่อแมกนีเซียมในโปรตีอีสจาก F13 สรุปได้ว่า  $\text{Zn}^{2+}$  และ  $\text{Co}^{2+}$  ที่ 10 mM สามารถทำให้แมกนีเซียมสูญเสียได้ 100% ในขณะที่  $\text{Mg}^{2+}$  นั้น ไม่ทำให้แมกนีเซียมเปลี่ยนแปลงแม้กระทั่ง 10 mM ส่วน  $\text{Mn}^{2+}$  และ  $\text{Fe}^{3+}$  ที่ 1 mM สามารถทำให้แมกนีเซียมเพิ่มขึ้นได้ 9 และ 4% ตามลำดับ

ตาราง 3.21 แมกนีเซียมในโปรตีอีสเมื่อมีไออกอนชนิดต่าง ๆ

ชนิดไออกอน	แมกนีเซียมในความเพิ่มขึ้นไออกอน (mM)							
	0		1		5		10	
	A <sub>440</sub>	UA/ลบ.ซม.	A <sub>440</sub>	UA/ลบ.ซม.	A <sub>440</sub>	UA/ลบ.ซม.	A <sub>440</sub>	UA/ลบ.ซม.
Mg <sup>2+</sup>	0.214	0.428	0.213	0.426	0.212	0.424	0.212	0.424
Ca <sup>2+</sup>	0.214	0.428	0.211	0.422	0.196	0.392	0.184	0.368
Mn <sup>2+</sup>	0.214	0.428	0.234	0.468	0.173	0.346	0.146	0.292
Fe <sup>3+</sup>	0.214	0.428	0.223	0.466	0.106	0.212	0.091	0.182
Cu <sup>2+</sup>	0.214	0.428	0.149	0.298	0.060	0.120	0.038	0.076
Zn <sup>2+</sup>	0.214	0.428	0.113	0.226	0.007	0.014	0	0
Co <sup>2+</sup>	0.214	0.428	0.097	0.194	0.025	0.050	0	0

ตาราง 3.22 เมอร์เซนต์แอคติวิตี้ที่ปราบภูมิเมื่ออยู่ชนิดต่าง ๆ

ความเข้มข้น (mM)	% แอคติวิตี้ที่ปราบภูมิเมื่ออยู่ชนิดต่าง ๆ						
	Mg <sup>2+</sup>	Ca <sup>2+</sup>	Mn <sup>2+</sup>	Fe <sup>3+</sup>	Cu <sup>2+</sup>	Zn <sup>2+</sup>	Co <sup>2+</sup>
0	100	100	100	100	100	100	100
1	99	98	109	104	69	52	45
5	99	91	80	49	28	3	11
10	99	85	68	42	17	0	0



รูป 3.17 แอคติวิตี้ที่ปราบภูมิ (%) ของโปรตีอสในสภาวะที่มี Mg<sup>2+</sup> (●), Ca<sup>2+</sup> (○), Mn<sup>2+</sup> (■), Fe<sup>3+</sup> (□), Cu<sup>2+</sup> (▲), Zn<sup>2+</sup> (△) และ Co<sup>2+</sup> (+) ที่ความเข้มข้นต่าง ๆ

### 3.5.4 ความจำเพาะต่อสับสเตรท

โปรตีอสซึ่งแยกด้วย kolamn Sephadex G 100-120 ครั้งที่ 6 เผิ่มด้วยโปรตีอสตับ 3 ลบ.ซม. มีแอคติวิตี้ 35.85 UA และปริมาณโปรตีน 1.485 มิลลิกรัม จะได้สารละลายโปรตีอส 78 ลบ.ซม. ซึ่งมี แอคติวิตี้ 35.10 UA และปริมาณโปรตีน 0.234 มิลลิกรัม นำไปศึกษาคุณสมบัติการใช้โดรไลส์พันธะ เอนิมิค เอสเทอร์ ในขณะที่การใช้โดรไลส์โปรตีนโดยวิธี TNBS จะให้สารละลายโปรตีอสที่ได้จากการ แยกด้วย kolamn Sephadex G 100-120 ครั้งที่ 4 และ 7 (ตาราง 3.9) เพียบกับ Alcalase, Metalloprotease type IX จาก *Bacillus polymyxa*, ทริปtein และโปรตีอสจากแบคทีเรีย S2

### 3.5.4.1 N- $\alpha$ -Benzoyl-DL-arginine-p-nitroanilide (BAPNA)

ในการศึกษา amidase activity ของป्रอตีโอลจาก F13 โดยใช้ BAPNA เป็นสับสสารที่ เมื่อยับเทียบกับ Alcalase, Metalloprotease type IX และทริปปินที่ความเข้มข้น 10 มก./ลบ.ซม. อย่างละ 100 มิโครลิตรนั้น สารละลายป्रอตีโอลทำปฏิกิริยาที่  $80^{\circ}\text{C}$  ส่วนสารละลายเอนไซม์ที่เปลี่ยนเทียบให้ทำปฏิกิริยาที่  $60^{\circ}$ ,  $37^{\circ}$  และ  $27^{\circ}\text{C}$  ตามลำดับ ให้ผลตังต่างๆ ตามตาราง 3.23

ในการคำนวณหา amidase activity ได้กำหนดให้ 1 ยูนิตป्रอตีโอลในหน่วย UAm (BAPNA) หมายถึง ปริมาณป्रอตีโอลที่ทำให้เกิดผลตัดภัณฑ์สามารถตัดกลีนแสงที่ความยาวคลื่น 405 นาโนเมตร และให้ค่า  $A_{405}$  ที่เปลี่ยนแปลงต่อนาที เท่ากับ 1 หน่วย เช่น กรณีของทริปปินซึ่งให้ผลการเปลี่ยนแปลงของ  $A_{405}$  ดังนี้  $3.18$  สามารถคำนวณหาแยกตัวได้ดังนี้

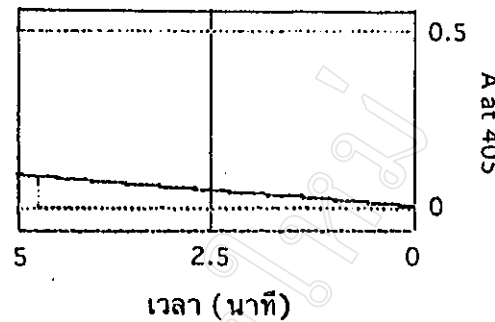
การทำปฏิกิริยาของสารละลายทริปปิน  $0.1$  ลบ.ซม. กับ BAPNA มากเกินพอจะได้อัตราการเปลี่ยนแปลงค่าการตัดกลีนแสงที่ความยาวคลื่น 405 นาโนเมตรใน  $5$  นาที เท่ากับ  $0.1$  (ดู 3.20)

$$\begin{aligned} \text{นั้นคือในเวลา } 1 \text{ นาที ทริปปินทำให้ } A_{405} \text{ เปลี่ยนไป} &= 0.02 \quad \text{หน่วย} \\ \text{แสดงว่าทริปปิน } 0.1 \text{ ลบ.ซม. มี amidase activity} &= 0.02 \quad \text{UAm (BAPNA)} \\ \text{ดังนั้นทริปปิน } 1.0 \text{ ลบ.ซม. มี amidase activity} &= 0.02 \times 1.0 \quad \text{UAm(BAPNA)} \\ & \\ & \qquad \qquad \qquad 0.1 \\ & = 0.2 \quad \text{UAm (BAPNA)/ลบ.ซม.} \end{aligned}$$

การคำนวณ amidase acitivity ของสารละลายป्रอตีโอล, Alcalase และ Metalloprotease type IX ทำได้ในทำนองเดียวกันและได้ผลสรุปดังตาราง 3.24 ซึ่งพบว่าป्रอตีโอลจาก F13, Alcalase และ Metalloprotease type IX ไม่สามารถไฮโดROLายพิพันธ์เอนไซม์ของ BAPNA ได้ ในขณะที่ทริปปิน มี amidase activity เท่ากับ  $0.2$  UAm (BAPNA)/ลบ.ซม.

ตาราง 3.23 การเปลี่ยนแปลงของ  $A_{405}$  เนื่องจากแยกตัวของป्रอตีโอลต่าง ๆ

ป्रอตีโอล	$\Delta A_{405}$ /นาที
ป्रอตีโอลจาก F13	0
Alcalase	0
Metalloprotease	0
ทริปปิน	0.02



รูป 3.18 การเปลี่ยนแปลงของ  $A_{405}$  ในระหว่างการส่องประกายโดยไตรีฟอฟิลิกไซด์ BAPNA โดยทริปซินที่อุณหภูมิ  $27^{\circ}\text{C}$

ตาราง 3.24 amidase activity ต่อ BAPNA ของโปรดีเจสจาก F13, Alcalase, Metalloprotease type IX และทริปซิน ซึ่งมีแคคติวิตต์ต่อเอโซเซอเริน 1 UA/ลบ.ซม.  
เหมือนกัน

สารคละสาย	ปริมาณทดสอบ (ลบ.ซม.)	amidase activity (UAm (BAPNA)/ลบ.ซม.)
โปรดีเจสจาก F13	0.20	0
Alcalase	0.10	0
Metalloprotease type IX	0.10	0
ทริปซิน	0.10	0.20

#### 3.5.4.2 3-(2-Furylacryloyl)-glycyl-L-leucine amide (FAGLA)

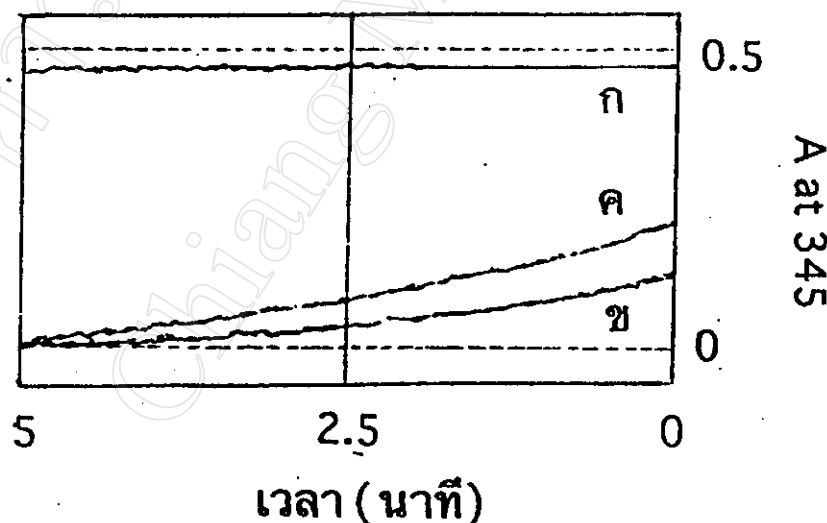
การตรวจทดสอบแคคติวิตต์ต่อ FAGLA ของโปรดีเจสจาก F13 เปรียบเทียบกับ Alcalase S2 และ Metalloprotease type IX ซึ่งวัดการเปลี่ยนแปลงของ  $A_{345}$  ในช่วงเวลา 5 นาทีของปฏิกิริยาให้ผลการทดลองดังรูป 3.19 ซึ่งสามารถคำนวณหาค่าการลดลงของการดูดกลืนแสงที่ความยาวคลื่น 345 นาโนเมตร ( $\Delta A_{345}$ )/นาที ได้ดังตาราง 3.25 และเมื่อเทียบค่าที่ได้กับการทำมาตราฐานความเข้มข้นของ FAGLA (รูป 3.20) ทำให้ได้ปริมาณ FAGLA ที่หายไปเนื่องจากแคคติวิตต์ของโปรดีเจสและจากการกำหนดให้ 1 ยูนิตอะมิเดสแคคติวิตต์ของโปรดีเจส [UAm (FAGLA)] หมายถึง จำนวนโมลของ FAGLA ที่ลดลง 1 มิโครโมลในเวลา 1 นาที เนื่องจากการไส้ไตรีฟอฟิลิกไซด์ของโปรดีเจส ทำให้คำนวนหาอะมิเดส

แอคติวิตี้ของโปรตีอีสได้ ตัวอย่างเช่น Metalloprotease type IX (10 มก./ลบ.ซม.) จำนวน 1 ลบ. ซม. สามารถใช้ไดรไลส์ FAGLA ให้ค่า  $A_{345}$  ลดลง 0.080 ในเวลา 1 นาที เมื่อเทียบกับกราฟมาตรฐาน รูป 3.20 ให้ค่าความเข้มข้นของ FAGLA 0.07 mM

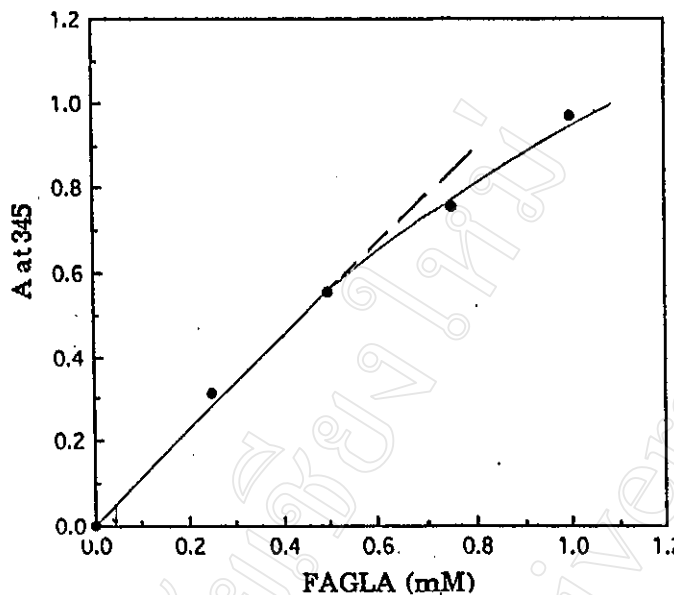
$$\begin{aligned}
 \text{เนื่องจากปริมาตรทั้งหมดของสารละลายในการทดลอง} &= 3.0 \quad \text{ลบ.ซม.} \\
 \text{สารละลาย } 1000 \text{ ลบ.ซม. มี FAGLA} &= 0.07 \quad \text{mmole} \\
 \text{สารละลาย } 3 \text{ ลบ.ซม. มี FAGLA} &= 0.07 \times 3 \quad \text{mmole} \\
 &\quad 1000 \\
 &= 2.1 \times 10^{-4} \quad \text{mmole} \\
 &= 210 \quad \mu\text{mole}
 \end{aligned}$$

Metalloprotease type IX 1 ลบ.ซม. ทำให้ FAGLA ลดลงใน 1 นาที = 210  $\mu\text{mole}$   
ดังนั้น Metalloprotease type IX มีแอคติวิตี้ต่อ FAGLA 210 UAm (FAGLA)/ลบ.ซม.

ในทำงานของเดียวกันสามารถคำนวนหาแอคติวิตี้ของสารละลายโปรตีอีสอื่น ๆ ได้ดังผลสรุปในตาราง 3.25 จะเห็นได้ว่าโปรตีอีสจาก F13 ไม่สามารถใช้ไดรไลส์พันธุ์เมื่อตัวของ FAGLA ได้ ในขณะที่โปรตีอีสจาก S2 และ Metalloprotease type IX มีแอคติวิตี้ต่อ FAGLA เท่ากับ 148.15 และ 210 UAm (FAGLA)/ลบ.ซม. ตามลำดับ



รูป 3.19 การเปลี่ยนแปลง  $A_{345}$  จากการทำปฏิกิริยาไช่ไดรไลส์ FAGLA โดยการ เชิงปฏิกิริยาของโปรตีอีส F13 (ก) Alcalase (x) และ Metalloprotease type IX (g)



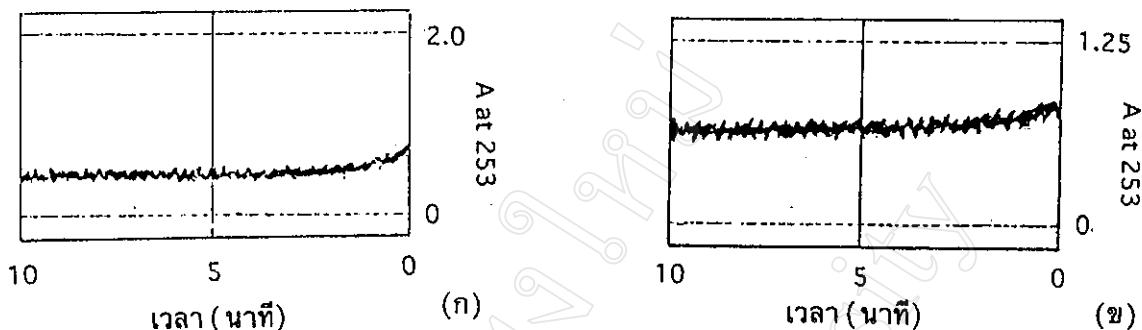
รูป 3.20 ความสัมพันธ์ระหว่าง  $A_{345}$  กับความเข้มข้นของ FAGLA

ตาราง 3.25 แยกตัวต่อ 1 UA ของป्रอตีอสจาก F13, ป्रอตีอสจาก S2 และ Metalloprotease type IX ในการไฮโดรไลซ์ FAGLA

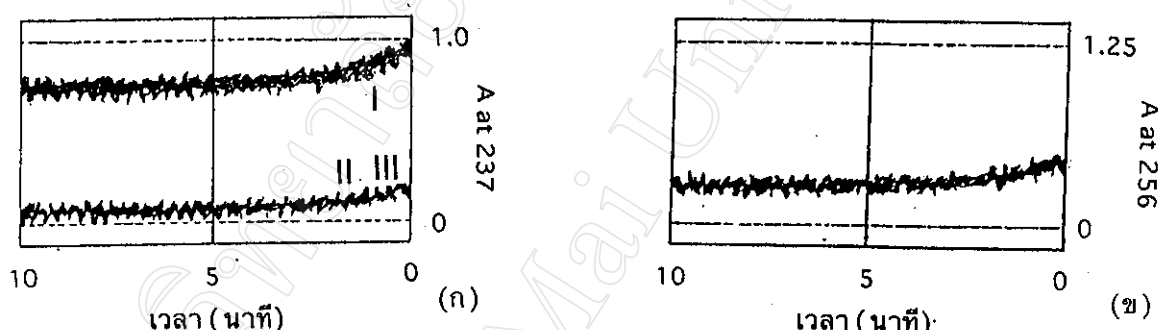
ชนิดป์รตีอส	ปริมาณรากดสอบ (ลบ.ซม.)	$\Delta A_{345}$ /นาที	FAGLA		UAm (FAGLA)/ลบ.ซม.
			mM	$\mu\text{mole}$	
ป์รตีอสจาก F13	2.00	0	0	0	0
Alcalase	0.81	0.047	0.04	120	148.15
Metalloprotease type IX	1.00	0.080	0.07	210	210.00

### 3.5.4.3 เอสเทอร์

ในการศึกษาความสามารถในการไฮโดรไลซ์เอสเทอร์ของป์รตีอสจาก F13 เมื่อยับเที่ยบกับ Metalloprotease type IX, Alcalase และป์รตีอสจาก S2 ได้เลือกใช้เอสเทอร์ 5 ชนิด ได้แก่ ATEE, ATpEE, BAEE, PME และ TAME โดยใช้ป์รตีอสจาก F13 2.0 ลบ.ซม., Metalloprotease type IX 1.0 ลับ.ซม., Alcalase 0.81 ลบ.ซม. และป์รตีอสจาก S2 2.0 ลบ.ซม. ซึ่งป์รตีอสแต่ละชนิดมีแยกตัวต่อ 1 UA เท่ากัน ทำปฏิกิริยาที่อุณหภูมิ  $80^\circ$ ,  $37^\circ$ ,  $60^\circ$  และ  $65^\circ\text{C}$  ตามลำดับ บันทึกการเปลี่ยนแปลงค่า  $A_{235}$  ของ BAEE ค่า  $A_{237}$  ของ ATEE, ATpEE และ PME และค่า  $A_{256}$  ของ TAME ได้ผลดังรูป 3.21 และ 3.22 ตามลำดับ



รูป 3.21 การเปลี่ยนแปลง  $A_{253}$  จากการทำปฏิกิริยาไนโตรไรส์ BAEE โดยการห่ำ  
ปฏิกิริยาของ Alcalase (g) และโปรตีอีส S2 (x)



รูป 3.22 การเปลี่ยนแปลงค่าการคุณลักษณะจากการทำปฏิกิริยาไนโตรไรส์ ATEE (y),  
ATpEE (II) และ PME (III) (II) และ TAME (x) โดยการห่ำปฏิกิริยาของ  
โปรตีอีส S2

ในการคำนวนหาแยกตัวของโปรตีอีสต่อเอสเทอร์แต่ละชนิด ได้กำหนดให้ 1 ยูนิตเอสเทอ-  
เรสแยกตัว (UE) หมายถึง ปริมาณเอสเทอร์ที่ทำให้ค่าการคุณลักษณะที่ความยาวคลื่นสูงสุดของ  
เอสเทอร์เปลี่ยนไป 1 หน่วยใน 1 นาที ณ สมการทดสอบนั้น ๆ คำนวนได้ดังต่อไปนี้

จากรูป 3.21 ปฏิกิริยาการไนโตรไรส์ BAEE ของ Alcalase มีค่า  $\Delta A_{235}/\text{นาที} = 0.38$

เนื่องจากสารละลาย Alcalase (1 UA) ที่ใช้ในการทดสอบ  $= 0.81 \text{ ลบ.ซม.}$

ดังนั้น Alcalase 0.81 ลบ.ซม. มีแยกตัวต่อ BAEE  $= 0.38 \text{ UE}$

Alcalase 1.00 ลบ.ซม. มีแยกตัวต่อ BAEE  $= \underline{0.38 \times 1.00} \text{ UE}$

$0.81$

$= 0.47 \text{ UE/ลบ.ซม.}$

ในทำนองเดียวกันสามารถคำนวณหาแยกตัวของโปรตีโน่จาก F13, Metalloprotease type IX และโปรตีโน่จาก S2 เมื่อใช้ ATEE หรือเอสเทอร์ชนิดอื่นเป็นสับสเตรท สรุปผลการคำนวณแสดงไว้ในตาราง 3.26 ซึ่งพบว่า Alcalase สามารถไฮดロไลซ์ BAEE ได้เพียงนิดเดียว โดยมีค่าแยกตัวของ BAEE เท่ากับ 0.47 UE/ลบ.ซม. ในขณะที่โปรตีโน่จาก S2 สามารถไฮดโรไลซ์ ATEE และ TAME ได้มากกว่า ATpEE, BAEE และ PME โดยมีแยกตัวของ ATTEE และ TAME เท่ากับ 0.06 UE/ลบ.ซม. และมีแยกตัวของ ATpEE, BAEE และ PME เท่ากัน คือ 0.05 UE/ลบ.ซม. โดยที่ Metalloprotease type IX และโปรตีโน่จาก F13 ไม่สามารถไฮดโรไลซ์เอสเทอร์ทั้ง 5 ชนิดได้

#### 3.5.4.4 การไฮดโรไลซ์โปรตีนโดย TNBS

ในการศึกษาความสามารถของโปรตีโน่จาก F13 เปรียบเทียบกับโปรตีโน่ที่ยังไม่ถูกทำลาย (ไอลอฟิลล์โปรตีโน่) ในกรณีไฮดโรไลซ์โปรตีนได้เลือกใช้เอชีโน่เคชีน เคชีน ชีโน่โกลบิน เจลาติน โปรตีนจากถั่วเหลืองและนมพร่องมันเนย เมื่อยield ไฮดโรไลซ์โปรตีนด้วยโปรตีโน่ ทำให้ได้ผลิตภัณฑ์ที่ไม่แตกตะกรอนด้วยกรด ซึ่งสามารถทำปฏิกิริยากับ TNBS และได้สารละลายนองผลิตภัณฑ์ที่ไม่แตกตะกรอนด้วย เกิดจากกลุ่ม NH<sub>2</sub> ของกรดอะมิโนที่ทำให้คุณลักษณะที่ 340 นาโนเมตร ดังนั้นจึงใช้ Leucine แทนกรดอะมิโนนี้ที่ทำปฏิกิริยากับ TNBS และให้การคุณลักษณะที่ 340 นาโนเมตร ตาราง 3.27 และภาพมาตราฐาน รูป 3.23 เพื่อคำนวณค่า milliequivalent ของ Leucine ซึ่งใช้คำนวณหาประสิทธิภาพการไฮดโรไลซ์โปรตีน (degree of hydrolysis, DH) โดยอาศัยความสัมพันธ์ดังนี้

$$DH = \frac{h}{h_{tot}} \times 100$$

โดยที่ DH = ประสิทธิภาพของการไฮดโรไลซ์ คือ ร้อยละของพันธะเปปไทด์ที่ถูกตัด

$h$  = จำนวนของพันธะเปปไทด์ที่ถูกตัด ซึ่งเท่ากับความเข้มข้น Leucine เป็น milliequivalent ต่อกรัมของโปรตีนที่เกิดขึ้นหลังจากการไฮดโรไลซ์

$h_{tot}$  = จำนวนพันธะเปปไทด์ทั้งหมด คือ ปริมาณกรดอะมิโนเดี่ยว ๆ ใน 1 กรัมของโปรตีน  
(ตาราง 1.6)

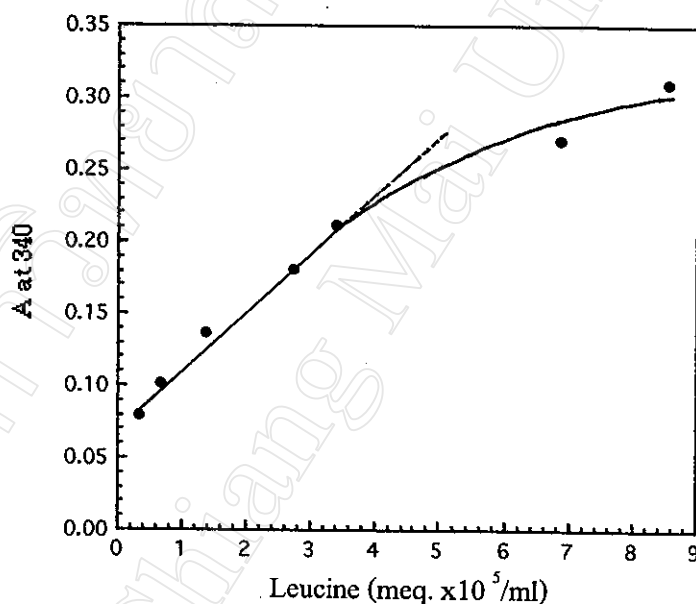
ในการคำนวณหาค่า  $h$  นั้น ปริมาณโปรตีนของสับสเตรทต่าง ๆ (เอชีโน่เคชีน เคชีน ชีโน่โกลบิน เจลาติน โปรตีนจากถั่วเหลืองและนมพร่องมันเนย) วิเคราะห์โดยวิธี Bradford ปรากฏว่าได้  $A_{595}$  ดังปรากฏในตาราง 3.28 และคำนวณหาปริมาณโปรตีนได้ดังตัวอย่างเช่น การหาปริมาณโปรตีนของ 0.2% เอชีโน่เคชีน (1% เจลาติน, 0.25% โปรตีนจากถั่วเหลืองและนมพร่องมันเนย) โดยใช้สับสเตรท 300 μM เจือจาง 100 เท่า นั้นคือ สับสเตรท 3 μM ให้ค่า  $A_{595} = 0.155$  (ในกรณีของ 1% เคชีนและชีโน่โกลบิน ใช้สับสเตรท 40 μM เจือจาง 100 เท่า)

แม็คติวิต์การไนโตรเจน ATEE, ATpEE, BAEЕ, PME โดยไปรดีออกซิเจน F13, Metalloprotease type IX, Alcalalase และไปรดีออกซิเจน S2

ชื่อสารบ่งไปรดีออกซิเจน	ATEE			ATpEE			BAЕЕ			PME			TAME		
	$\Delta A_{237}/$ นาที	ปริมาณเอนไซม์/ (สบ.ช.m.)	แม็คติวิต์/ (UE/สบ.ช.m.)												
โปรตีอีส จาก F13	0	2.0	0	0	2.0	0	0	2.0	0	0	2.0	0	0	2.0	0
Metalloprotease Type IX	0	1.0	0	0	1.0	0	0	1.0	0	0	1.0	0	0	1.0	0
Alcalalase	0	0.81	0	0	0.81	0	0.38	0.81	0.47	0	0.81	0	0	0.81	0
ไปรดีออกซิเจน S2	0.12	2.0	0.06	0.10	2.0	0.05	0.09	2.0	0.05	0.10	2.0	0.05	0.11	2.0	0.06

ตาราง 3.27 ค่าการดูดกลืนแสงที่ 340 นาโนเมตรของสารละลายนานาตัวรุ่นใน 1% SDS  
ที่ความเข้มข้นต่าง ๆ กัน

Leucine			$A_{340}$
1.5 mM ปริมาณ ( $\mu$ M)	ปริมาณ (meq.)	ความเข้มข้น (meq./ลบ.ซม.)	
10	$1.45 \times 10^{-5}$	$3.41 \times 10^{-6}$	0.080
20	$2.90 \times 10^{-5}$	$6.82 \times 10^{-6}$	0.101
40	$5.79 \times 10^{-5}$	$1.36 \times 10^{-5}$	0.137
80	$1.16 \times 10^{-4}$	$2.73 \times 10^{-5}$	0.181
100	$1.45 \times 10^{-4}$	$3.41 \times 10^{-5}$	0.212
200	$2.90 \times 10^{-4}$	$6.82 \times 10^{-5}$	0.270
250	$3.62 \times 10^{-4}$	$8.52 \times 10^{-5}$	0.310



รูป 3.23 กราฟมาตราฐานของ Leucine

$$\begin{aligned}
 & \text{เมื่อเทียบ } A_{595} \text{ กับกราฟมาตราฐาน รูป 3.10 จะได้ปริมาณโปรตีน} = 5.74 \text{ มิโครกรัม/ลบ.ซม.} \\
 & \text{เนื่องจากสารละลายน้ำนมคั่นหลอดทดสอบ} = 1.50 \text{ ลบ.ซม.} \\
 & \text{ดังนั้นสารละลายนีโตรเจน 3 ไมโครลิตร มีโปรตีน} = 1.50 \times 5.74 \text{ ไมโครกรัม} \\
 & \quad = 8.61 \text{ ไมโครกรัม} \\
 \therefore & \text{สารละลายนีโตรเจน 1000 ไมโครลิตร มีโปรตีน} = 8.61 \times 1000 \text{ ไมโครกรัม}
 \end{aligned}$$

นันคือเอโซเคชีน 1 ลบ.ซม. ที่ใช้เป็นสับสตเตอร์มีโปรตีน = 0.0029 กรัม  
ในท่านองเดียวกันปริมาณโปรตีนของสับสตเตอร์ทันดื่มน้ำ ได้สูงผลให้ในตาราง 3.28

ตัวอย่างการคำนวนค่าหาปริมาณที่กินพากการใช้โตรอไลส์ของไอโซพิไอลส์ปฏิอีส F13 โดยใช้เอโซเคชีนเป็นสับสตเตอร์ ซึ่งมีปริมาณโปรตีนเท่ากับ 0.0029 กรัม (จากตาราง 3.28) หลังจากการใช้โตรอไลส์เอโซเคชีนด้วยไอโซพิไอลส์ปฏิอีส F13 จะได้กรดอะมิโน เมื่อทดสอบหาปริมาณกรดอะมิโน ยิ่งจะได้คืนจากการหันและเปลี่ยนไห้กรดที่ถูกไห้โดยวิธี TNBS จะได้สารละลายที่มีค่ากรดคุณ กลีนแสงที่ความยาวคลื่น 340 นาโนเมตร เท่ากับ 0.120 เมื่อเทียบกับกราฟมาตราฐาน Leucine สามารถคำนวนค่า milliequivalent ต่อกรัมของโปรตีนทดสอบ (h) ได้ดังนี้

เมื่อเทียบค่า  $A_{340}$  จากการทดลองด้วยปฏิอีส F13 เท่ากับ 0.120 กับกราฟมาตราฐาน Leucine จะมีค่า

$$= 1.40 \times 10^{-5} \text{ meq./ลบ.ซม.}$$

นันคือสารละลาย 1 ลบ.ซม. มี Leucine

$$= 1.40 \times 10^{-5} \text{ meq.}$$

เมื่อจากสารละลายทั้งหมดที่ใช้ในการทดสอบ

$$= 8.25 \text{ ลบ.ซม.}$$

ดังนั้นสารละลาย 8.25 ลบ.ซม. มี Leucine

$$= 1.40 \times 10^{-5} \times 8.25 \text{ meq.}$$

เมื่อจากใช้สารละลายตัวอย่าง

$$= 1.16 \times 10^{-4} \text{ meq.}$$

ดังนั้นสารละลายตัวอย่าง 0.25 ลบ.ซม. จึงมี Leucine

$$= 0.25 \text{ ลบ.ซม.}$$

เมื่อสารละลายตัวอย่างทั้งหมด

$$= 3.30 \text{ ลบ.ซม.}$$

นันคือสารละลายตัวอย่างมี Leucine

$$= 1.16 \times 10^{-4} \times 3.30 \text{ meq.}$$

$$0.25$$

$$= 1.53 \times 10^{-3} \text{ meq.}$$

เมื่อจากสารละลายตัวอย่างทั้งหมด 3.30 ลบ.ซม. เทียบจากสารละลายเอโซเคชีนริ่มตัน 1 ลบ.ซม.

ซึ่งมีโปรตีน

$$= 0.0029 \text{ กรัม}$$

นันคือเอโซเคชีน 0.0029 กรัม ถูกถ่ายให้ Leucine

$$= 1.53 \times 10^{-3} \text{ meq.}$$

$\therefore$  เอโซเคชีน 1 กรัม ถูกถ่ายให้ Leucine

$$= 1.53 \times 10^{-3} \text{ meq.}$$

$$0.0029$$

$$= 0.53 \text{ meq.}$$

**ตาราง 3.28 ปริมาณโปรตีนของสารละลายสับสูตรชนิดต่าง ๆ 1 ลบ.ชม.**

สับสูตร	$A_{595}$	ปริมาณโปรตีนเทียบกับกราฟ มาตรฐาน ( $\mu\text{g}/\text{ลบ.ชม.}$ )	ปริมาณโปรตีน (กรัม)
เอชีเคชีน	0.155	5.74	0.0029
เคชีน	0.115	4.26	0.0160
ชีโนโกลบิน	0.163	6.04	0.0227
เจลาติน	0.191	7.07	0.0035
โปรตีนจากถั่วเหลือง	0.083	3.07	0.0015
นมพร่องมันเนย	0.075	2.78	0.0014

จากความสัมพันธ์

ประสิทธิภาพการไฮโดรไลส์เอชีเคชีน

$$= \frac{\text{meq. leucine}}{\text{กรัมโปรตีน}} \times 100$$

$h_{\text{total}}$  ของเอชีเคชีน

$$= \frac{0.53}{0.0029} \times 100$$

$$8.2$$

$$= 6.46 \%$$

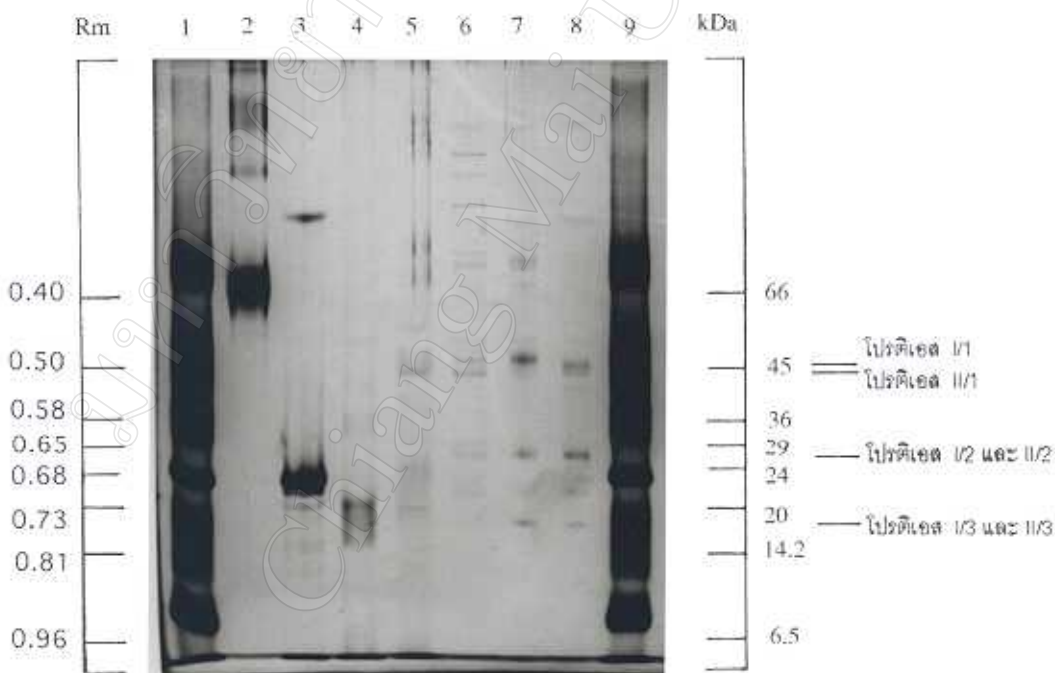
ในท่านองดีเยาว์กันสามารถคำนวณค่าร้อยละของพันธะเปปไทด์ที่ถูกตัด (% DH) จากการไฮโดรไลส์สับสูตรชนิดต่าง ๆ โดยสารละลายโปรตีนเฉพาะ F13 และ Alcalase ตั้งแสดงในตาราง 3.29 พบว่าไฮโดรไลส์โปรตีน F13 สามารถไฮโดรไลส์โปรตีนชนิดต่าง ๆ ได้น้อยกว่า Alcalase โดยที่ไฮโดรไลส์โปรตีน F13 และสารละลายโปรตีนเฉพาะ F13 สามารถไฮโดรไลส์เอชีเคชีน > นมพร่องมันเนย > เจลาติน > โปรตีนจากถั่วเหลือง > เคชีน > ชีโนโกลบิน ซึ่งมีประสิทธิภาพของการไฮโดรไลส์พันธะเปปไทด์ในช่วง 6.46-0.46 และ 6.46-0.35% ตามลำดับ ในขณะที่ Alcalase สามารถไฮโดรไลส์เอชีเคชีน > เจลาติน > นมพร่องมันเนย > โปรตีนจากถั่วเหลือง > เคชีน > ชีโนโกลบิน ด้วยประสิทธิภาพในการไฮโดรไลส์พันธะเปปไทด์ในช่วง 13.78-2.29%

ตาราง 3.29 ประสิทธิภาพการไฮโดรไลส์พันธะเปปไทด์ของโปรตีนชนิดต่างๆ โดยไฮโดรไลส์ โปรตีอีส F13 สารละลายน้ำของโปรตีอีสจาก F13 และ Alcalase

ชนิดของ โปรตีอีส	ส์บส stereoisomer	$A_{340}$	$h$ (meq. leucine <sub>0</sub> /กรัม โปรตีนทดสอบ)	$h_{tot}$ (meq./กรัม โปรตีน)	DH %
ไฮโดรไลส์ โปรตีอีส F13	เอโซเคชีน เคชีน ชีโนโกลบิน เจตาติน โปรตีนจากถั่วเหลือง นมพร่องมันเนย	0.120 0.090 0.095 0.141 0.086 0.089	0.53 $4.08 \times 10^{-2}$ $3.84 \times 10^{-2}$ 0.56 0.29 0.47	8.2 8.2 8.3 11.1 7.8 8.8	6.46 0.50 0.46 5.05 3.72 5.34
สารละลายน้ำ โปรตีอีส จาก F13 ครั้งที่ 4	เอโซเคชีน เคชีน ชีโนโกลบิน เจตาติน โปรตีนจากถั่วเหลือง นมพร่องมันเนย	0.126 0.110 0.113 0.172 0.089 0.092	0.53 $6.81 \times 10^{-2}$ $4.80 \times 10^{-2}$ 0.81 0.44 0.47	8.2 8.2 8.3 11.1 7.8 8.8	6.46 0.83 0.58 7.30 5.64 5.34
สารละลายน้ำ โปรตีอีส จาก F13 ครั้งที่ 5	เอโซเคชีน เคชีน ชีโนโกลบิน เจตาติน โปรตีนจากถั่วเหลือง นมพร่องมันเนย	0.119 0.086 0.090 0.130 0.084 0.089	0.53 $3.41 \times 10^{-2}$ $2.88 \times 10^{-2}$ 0.50 0.29 0.47	8.2 8.2 8.3 11.1 7.8 8.8	6.46 0.42 0.35 4.51 2.72 5.34
Alcalase	เอโซเคชีน เคชีน ชีโนโกลบิน เจตาติน โปรตีนจากถั่วเหลือง นมพร่องมันเนย	0.200 0.249 0.237 0.181 0.093 0.095	1.13 0.28 0.19 0.82 0.41 0.58	8.2 8.2 8.3 11.1 7.8 8.8	13.78 3.42 2.29 9.88 5.26 6.59

### 3.6 การตรวจส่วนมวลโมเลกุลโดย SDS-PAGE

ผลการวิเคราะห์มวลโมเลกุลของโปรตีโนเจต I และ II ซึ่งท่านริสุทธิ์ด้วยคอลัมน์ Sephadex G-75 โดย SDS-PAGE พนแบบโปรตีนดังรูป 3.24 เมื่อคำนวณค่า Rm ของแคนโปรตีนมาตรฐานที่ปรากฏในช่องที่ 1 และ 9 ซึ่งประกอบด้วย BSA, Ovalbumin, Glyceraldehyde-3-phosphate dehydrogenase, Carbonic anhydrase, Trypsinogen, Trypsin inhibitor,  $\alpha$ -Lactalbumin และ Aprotinin โดยที่ได้รับโปรตีนมาตรฐานในช่องที่ 2 (BSA) ช่องที่ 3 (Trypsin inhibitor) และช่องที่ 4 (Lysozyme) เป็นตัวเปรียบเทียบ ได้ผลลัพธ์ค่า Rm ของโปรตีนมาตรฐานดังตาราง 3.30 เมื่อเรียนทราบมาตราฐานของโปรตีนเหล่านี้ทำให้ผลดังรูป 3.25 เมื่อพิจารณาโปรตีโนเจตดิบซึ่งได้จากไอลอฟิลล์ (ช่องที่ 5) และเมื่อทำได้จะไอลอฟิลล์ของไอลอฟิลล์โปรตีโนเจต ทำให้ได้ผลดังปรากฏในช่องที่ 6 ซึ่งทั้งสองช่องนี้พบแคนโปรตีนจำนวนมากกระจายอยู่ตั้งแต่ MW 66,000-19,000 ตามต้น แต่จะเห็นว่ามีแคนโปรตีนที่สอดคล้องกับแคนโปรตีนที่ปรากฏในช่องที่ 7 และ 8 ซึ่งเกิดจากโปรตีโนเจต I และ II ซึ่งแยกได้จากคอลัมน์ของ Sephadex G-75 โปรตีโนเจต I ในช่องที่ 7 ให้แคนโปรตีน 3 แคนคือ โปรตีโนเจต I/1, I/2 และ I/3 มีค่า Rm เท่ากับ 0.50, 0.66 และ 0.78 ตามลำดับ และโปรตีโนเจต II ในช่องที่ 8 ให้แคนโปรตีน 3 แคนคือ โปรตีโนเจต II/1, II/2 และ II/3 มีค่า Rm เท่ากับ 0.45, 0.58 และ 0.65 ตามลำดับ



รูป 3.24 SDS-PAGE ของ Sigma Marker [ประกอบด้วย BSA (66,000), Ovalbumin (45,000), Glyceraldehyde-3-phosphate dehydrogenase (36,000), Carbonic anhydrase (29,000), Trypsinogen (24,000), Trypsin inhibitor (20,000),  $\alpha$ -Lactalbumin (14,200) และ Aprotinin (6,500)] (ช่องที่ 1 และ 9) BSA (ช่องที่ 2) Trypsin inhibitor (ช่องที่ 3) Lysozyme (ช่องที่ 4) ไอลอฟิลล์โปรตีโนเจต F13 (ช่องที่ 5) ไอลอฟิลล์โปรตีโนเจต F13 (ช่องที่ 6) โปรตีโนเจต I (ช่องที่ 7) และโปรตีโนเจต II (ช่องที่ 8)

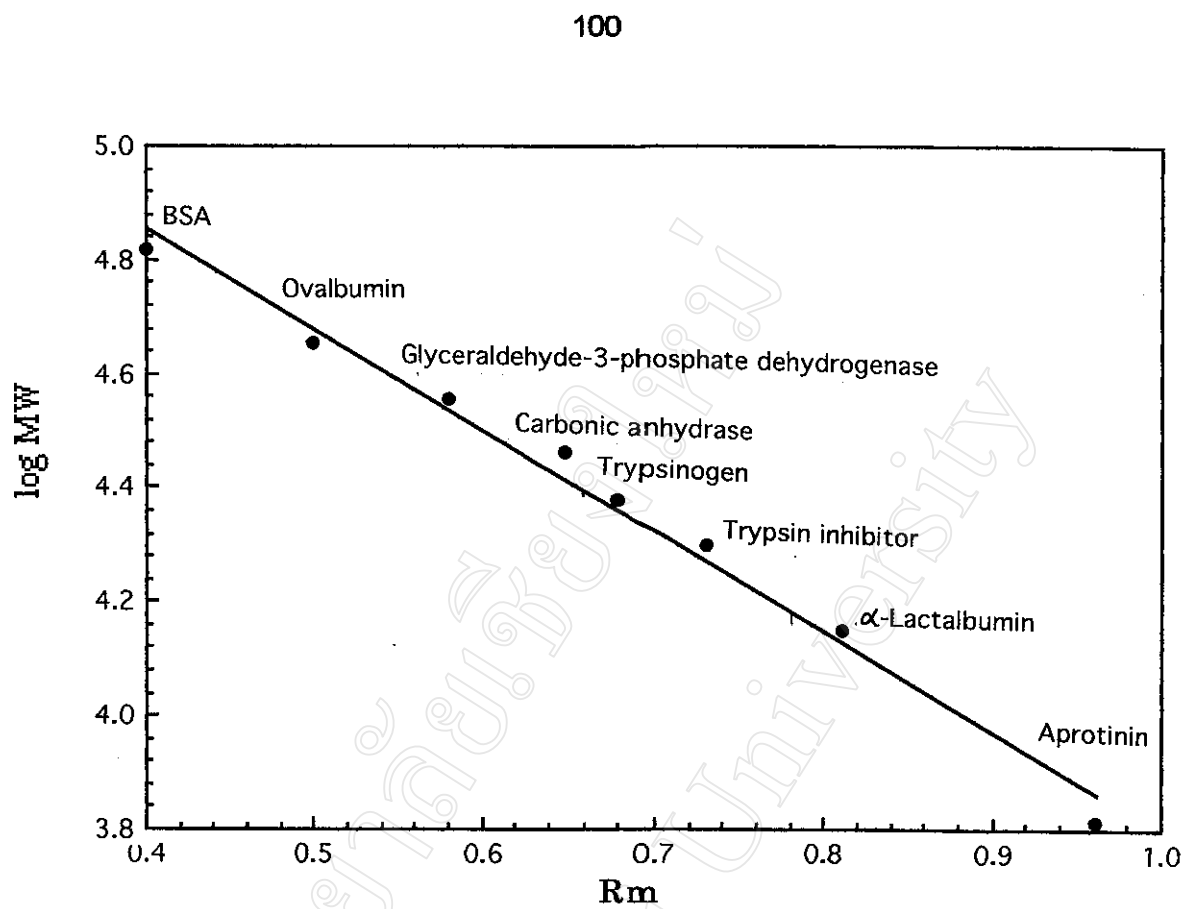
ตาราง 3.30 ค่า Rm และ log ของมวลโมเลกุลของสารละลายโปรตีนมาตรฐานต่างๆ บน 10% Polyacrylamide gel จาก SDS-PAGE

ชนิดโปรตีนมาตรฐาน	มวลโมเลกุล ( Dalton)	log ของ มวลโมเลกุล	ระยะทางที่เคลื่อนที่ (มม.)	Rm
BSA	66,000	4.819	3.9	0.40
Ovalbumin	45,000	4.653	4.9	0.50
Glyceraldehyde-3-phosphate dehydrogenase	36,000	4.556	5.7	0.58
Carbonic anhydrase	29,000	4.462	6.4	0.65
Trypsinogen	24,000	4.380	6.7	0.68
Trypsin inhibitor	20,000	4.301	7.2	0.73
$\alpha$ -Lactalbumin	14,200	4.152	7.9	0.81
Aprotinin	6,500	3.812	9.4	0.96

ในส่องที่ 8 มีแคนโปรตีน 3 แคนคือ โปรตีอส II/1, II/2 และ II/3 ซึ่งมีค่า Rm เท่ากับ 0.51, 0.66 และ 0.78 ตามลำดับ นี่อธิบายค่า Rm ที่ได้กับการฟามาตรฐานดูป 3.25 ทำให้ได้แคนโปรตีนในโปรตีอส I ที่ MW 48,000, 29,000 และ 16,000 Dalton และโปรตีอส II ให้แคนโปรตีนที่ MW 46,000, 29,000 และ 16,000 Dalton ตามลำดับ (ตาราง 3.31) ซึ่งจะเห็นได้ว่าโปรตีอส I และ II มีโปรตีนชนิดแรกที่ MW อยู่ในช่วง 48,000-46,000 Dalton โปรตีนชนิดที่สองมี MW 29,000 Dalton และชนิดที่สามมี MW ที่ 16,000 Dalton แม้จะนักน แม่พิจารณาผลการทดลองนี้ควบคู่กับเจลฟิล์มอะซิน ทำให้คาดว่าโปรตีอสเปริทูธ์ของ F13 มี 3 ชนิด คือ มีมวลโมเลกุล เท่ากับ 55,000-46,000, 29,000-27,000 และ 16,000 Dalton ตามลำดับ

### 3.7 จุดไอโซเลคตริก

ผลการตรวจสอบมวลโมเลกุลด้วยเจลฟิลเตอร์และ SDS-PAGE ของโปรตีอสจากแมคทีเรีย F13 ที่ทำให้บิสทูธ์ด้วยคอลัมน์ Sephadex G-75 คาดว่ามีโปรตีอสได้ 3 ชนิด และได้ตรวจค่า Rm ของโปรตีอสเปริทูธ์ด้วยไอโซเลคตริกไฟล์สิงและโครมาโทกราฟล์สิง



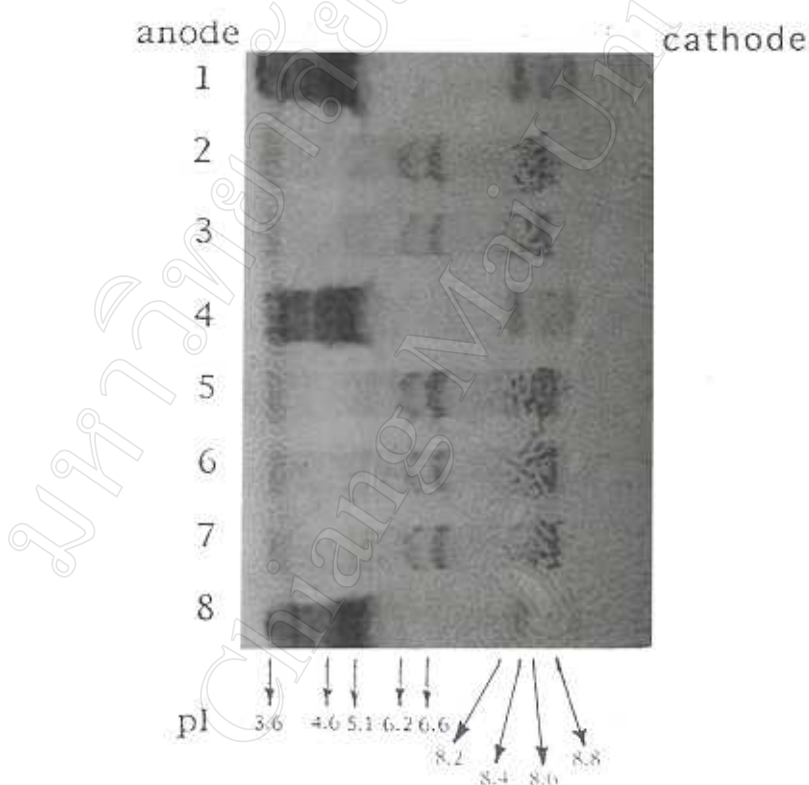
รูป 3.25 กราฟมาตรฐานมวลโมเลกุลของโปรตีนมาตรฐาน Sigma Marker M-3193 โดย SDS-PAGE

ตาราง 3.31 มวลโมเลกุลของโปรตีอีสบาร์ที่ทดสอบโดย SDS-PAGE

ชนิดโปรตีอีส	ระยะทางที่เคลื่อนที่ (ซม.)	Rm	log ของ มวลโมเลกุล	มวลโมเลกุล (ดาตั้น)
โปรตีอีส I/1	4.9	0.50	4.68	48,000
	6.5	0.66	4.40	29,000
	7.6	0.78	4.20	16,000
โปรตีอีส II/1	5.0	0.51	4.66	46,000
	6.5	0.66	4.40	29,000
	7.6	0.78	4.20	16,000

### 3.7.1 ไอโซอิเลคตริกโฟคัลชีว

ในการหาค่า PI ของโปรตีอสจาก F13 ได้ใช้สารละลายปอร์ติเอลที่ได้จากคอลัมน์ Sephadex G 100-120 ที่เตรียมในครั้งที่ 7 (ตาราง 3.9) ซึ่งมีผลการแยกที่ให้ปอร์ติเอลเพียงพีคเดียว ดังรูป 3.12 เนื่องจากปริมาณปอร์ตินในสารละลายหั่นนมด้มีความเข้มข้นไม่เพียงพอ จึงทำให้เข้มข้นขึ้น 3 เท่า โดยการกรองด้วยหลอด microcentrifuge filter ซึ่งมีปอร์ติน 0.07 มก./ลบ.ซม. และใช้สารละลายนี้ใส่ลงในช่องไส้ถารบนเจลช่องที่ 2, 3, 5, 6 และ 7 ช่องละ 1 ไมโครลิตร ส่วนช่องที่ 1, 4 และ 8 ใส่ปอร์ตินมาตรฐานที่ทราบค่า PI ผลการวิเคราะห์แสดงดังรูป 3.26 เมื่อเรียนการฟื้นฟูความสมพันธ์ระหว่างระยะทางจากช้าและเร็ว กับค่า PI ของปอร์ตินมาตรฐานบางค่า (เนื่องจากปอร์ตินคือสารละลายปอร์ติเอลบริสุทธิ์ที่แยกได้จากคอลัมน์ Sephadex G 100-120 ที่พบเพียงพีคเดียวันนี้ ปรากฏว่ามีปอร์ติเอลอยู่ 3 ชนิด เช่นเดียวกับการแยกด้วย SDS-PAGE ดังนั้นจึงแสดงได้ว่าปอร์ติเอลมาตรฐานที่ใช้บางชนิดไม่ปรากฏແบส์ จึงเลือกใช้ค่า PI บางค่าเท่านั้น) ดังที่แสดงในตาราง 3.32 ได้

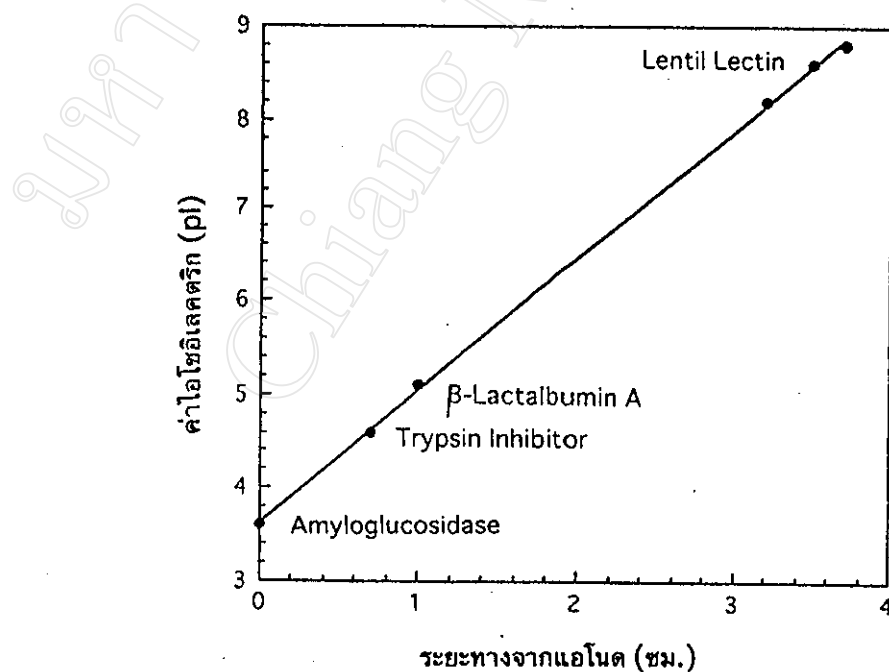


รูป 3.26 การแยกปอร์ติเอลจาก F13 ด้วยไอโซอิเลคตริกโฟคัลชีว ช่องที่ 1, 4 และ 8 คือปอร์ตินมาตรฐาน ประกอบด้วย Amyloglucosidase pl 3.6, Trypsin Inhibitor pl 4.6,  $\beta$ -Lactoglobulin A pl 5.1, Carbonic anhydrase I และ II pl 5.9 และ 6.6, Myoglobin pl 6.8 และ 7.2, Lentil Lectin pl 8.2, 8.6 และ 8.8 Trypsinogen pl 9.3 ช่องที่ 2, 3, 5, 6 และ 7 คือสารละลายปอร์ติเอล

ผลดังรูป 3.27 จากรูป 3.26 จะเห็นได้ว่าสารละลายโปรตีโอล์ให้แผนปีกตีน 3 แยก ซึ่งเมื่อเทียบค่า ระยะห่างจากชั้วและในตัวอย่างมาตราฐาน (รูป 3.29) จะได้ค่า pH ของโปรตีโอล์ดังตาราง 3.33 นั้น คือสารละลายโปรตีโอล์ที่แยกได้จากคลัมเบอร์ Sephadex G 100-120 ที่พบเพียงพีคเดียวบน ประกาย ร่วมกับโปรตีโอล์ 3 ชนิดเข้าด้วยกันการแยกด้วย SDS-PAGE ดังนั้นจึงแสดงได้ว่าโปรตีโอล์พีค

ตาราง 3.32 การเคลื่อนที่ของโปรตีนมาตราฐานโดยไอโซเลคติกฟิล์ฟิล์ม (-คือไม่ปรากฏ)

เอนไซม์	pI	ระยะห่างจากแอนโอด (ซม.)
Amyloglucosidase	3.6	0
Trypsin Inhibitor	4.6	0.7
$\beta$ -Lactoglobulin A	5.1	1.0
Carbonic anhydrase I	6.9	-
Carbonic anhydrase II	6.6	-
Myoglobin	6.8	-
	7.2	-
Lentil Lectin	8.2	3.2
	8.6	3.5
	8.8	3.7
Trypsinogen	9.3	-



รูป 3.27 กราฟมาตราฐานของการหาค่า pH ด้วยไอโซเลคติกฟิล์ม ประกอบด้วย Amyloglucosidase pH 3.6, Trypsin Inhibitor pH 4.6,  $\beta$ -Lactoglobulin A pH 5.1 และ Lentil Lectin pH 8.2, 8.6 และ 8.8 ตามลำดับ

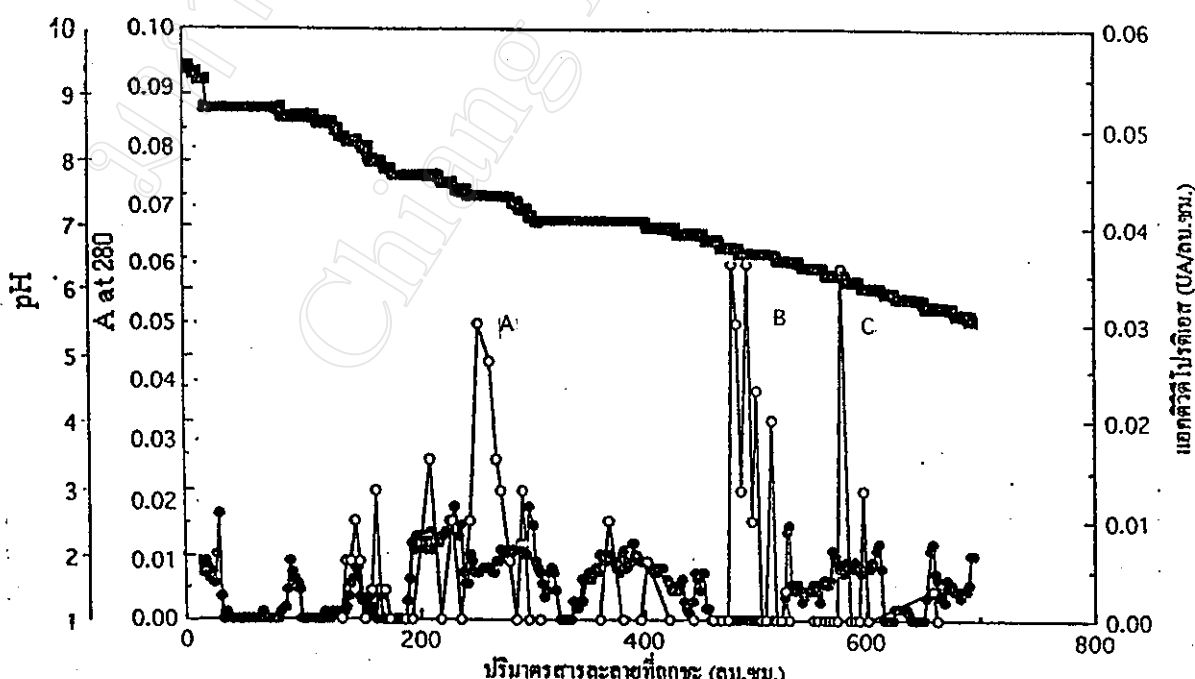
เดียวที่แยกด้วยคอลัมน์ Sephadex G 100-120 นั้น ประกอบด้วยโปรตีน 3 ชนิดซึ่งมี  $pI$  ที่ 6.2, 6.6 และ 8.4

ตาราง 3.33 ค่า  $pI$  ของโปรตีอส I, II และ III โดยใช้อิเลคทริกไฟคัสซิ่ง

โปรตีอส	ระยะห่างจากแยโนด (cm.)	$pI$
I	1.9	6.2
II	2.2	6.6
III	3.4	8.4

### 3.7.2 โครมาโทไฟคัสซิ่ง

เมื่อผ่านสารละลายโปรตีอสที่แยกได้จากคอลัมน์ Sephadex G-75 1 ลบ.ซม. ซึ่งมีแอคติวิตี้ 20 UA และปริมาณโปรตีน 3 มิลลิกรัม (รวมสารละลายโปรตีอสที่แยกได้ในครั้งที่ 1 และ 2 ในตาราง 3.10 รวมกัน แล้วใช้สารละลายน้ำ 116 ลบ.ซม. ทำให้เข้มข้นขึ้นประมาณ 50 เท่าด้วยอัตราพิเศษ (ซึ่ง) ลงในคอลัมน์ของ polybuffer exchanger (PBE 94) และจะคอลัมน์ด้วย polybuffer 96 จนพิสูจน์ ของสารละลายที่ถูกชะเท่ากับ 6.0 จากนั้นจะตามด้วย polybuffer 74 จนพิสูจน์ของสารละลายที่ถูก ชะเท่ากับ 4.0 ทำให้ได้ค่าต่าง ๆ ดังตาราง 3.34 และให้กราฟความสัมพันธ์ระหว่าง  $A_{280}$ , pH และ แอคติวิตี้โปรตีอสของสารละลายที่แยกได้ ดังรูป 3.28 จะเห็นว่ามีพีคของโปรตีอส 3 พีค ซึ่งอยู่ใน



รูป 3.28 แอคติวิตี้ (○),  $A_{280}$  (●) และ pH (■) ของสารละลายที่ได้จากการแยกโปรตีอส ผ่านคอลัมน์ polybuffer exchanger 94 (1.0×30 ซม.)



ตาราง 3.34 (ต่อ)

หลอดที่	ปริมาณครึ่งชั่วโมง (ลบ.ซม.)	A <sub>280</sub>	pH	แอกซิวิต (UA/ลบ.ซม.)	หลอดที่	ปริมาณครึ่งชั่วโมง (ลบ.ซม.)	A <sub>280</sub>	pH	แอกซิวิต (UA/ลบ.ซม.)
173	373.60	0.009	7.1	0.000	254	547.75	0.005	6.4	0.000
175	377.90	0.008	7.1	0.000	256	552.05	0.006	6.4	0.000
177	382.20	0.012	7.1	0.000	258	556.35	0.006	6.4	0.000
179	386.50	0.010	7.1	0.000	260	560.65	0.007	6.4	0.000
181	390.80	0.013	7.1	0.000	262	564.95	0.006	6.3	0.000
183	395.10	0.010	7.1	0.000	264	569.25	0.012	6.3	0.000
186	401.55	0.010	7.1	0.006	266	573.55	0.010	6.3	0.013
188	405.85	0.009	7.0	0.000	268	577.85	0.009	6.3	0.030
190	410.15	0.009	7.0	0.000	271	584.30	0.009	6.2	0.000
192	414.45	0.009	7.0	0.000	273	588.60	0.010	6.2	0.000
194	418.75	0.007	7.0	0.000	275	592.90	0.009	6.2	0.000
196	423.05	0.005	7.0	0.000	277	597.20	0.009	6.1	0.013
198	427.35	0.005	7.0	0.000	279	601.50	0.009	6.1	0.000
200	431.65	0.006	6.9	0.000	281	605.80	0.010	6.1	0.000
202	435.95	0.003	6.9	0.000	283	610.10	0.013	6.1	0.000
204	440.25	0.001	6.9	0.000	285	614.40	0.000	6.1	0.000
206	444.55	0.008	6.9	0.000	287	618.80	0.000	6.0	0.000
208	448.85	0.005	6.9	0.000	289	623.00	0.000	6.0	0.000
210	453.15	0.008	6.9	0.000	291	627.30	0.002	5.9	0.000
212	457.45	0.002	6.8	0.000	293	631.60	0.002	5.9	0.000
214	461.75	0.000	6.8	0.000	295	635.90	0.001	5.9	0.000
216	446.05	0.000	6.8	0.010	297	640.20	0.000	5.9	0.000
218	470.35	0.000	6.7	0.013	299	644.50	0.000	5.9	0.000
220	474.65	0.000	6.7	0.016	301	648.80	0.000	5.9	0.000
222	478.95	0.000	6.7	0.036	303	653.10	0.004	5.8	0.000
224	483.25	0.000	6.7	0.003	305	657.40	0.013	5.8	0.003
226	487.55	0.000	6.6	0.013	307	661.70	0.007	5.8	0.000
228	491.85	0.000	6.6	0.036	309	666.00	0.005	5.8	0.000
230	496.15	0.000	6.6	0.010	311	670.30	0.007	5.8	0.000
232	500.45	0.000	6.6	0.023	313	674.60	0.006	5.8	0.000
234	504.75	0.000	6.6	0.000	315	678.90	0.005	5.7	0.000
236	509.05	0.000	6.6	0.000	317	683.20	0.005	5.7	0.000
238	513.35	0.000	6.6	0.020	319	687.50	0.005	5.7	0.000
240	517.65	0.000	6.6	0.000	321	691.80	0.011	5.7	0.000
242	521.95	0.000	6.5	0.000					
244	526.25	0.004	6.5	0.000					
246	530.55	0.016	6.5	0.000					
248	534.85	0.005	6.5	0.000					
250	539.15	0.005	6.5	0.000					
252	544.45	0.004	6.4	0.000					

ช่วงปริมาณการซึม 236-285 ลบ.ซม. (พีค A), 476-490 ลบ.ซม. (พีค B) และ 577-580 ลบ.ซม. (พีค C) ซึ่งมีพีเอช 7.5, 6.7 และ 6.3 ตามลำดับ ซึ่งเมื่อนำสารละลายไปรัตเตอส์แล่น้ำไปนา แยกตัวตีและปะตีน ทำให้ได้ผลตั้งปะกูญในทาง 3.37 และเมื่อคำนวณค่าแยกตัวตีและปะตีน ปะตีนทั้งหมดทำให้ได้ผลตั้งทาง 3.36 ซึ่งพบว่าโปรตีน A, B และ C มีค่าแยกตัวตีทั้งหมดเท่ากัน 1.335, 0.194 และ 0.086 UA โดยที่มีปริมาณโปรตีนในสารละลายทั้งหมดเท่ากับ 0.495, 0.077 และ 0.034 มิลลิกรัม ตามลำดับ จากค่าที่ได้สามารถคำนวณค่าแยกตัวตีจำเพาะของสารละลายไปรัตเตอส์บริสุทธิ์ทั้งสามชนิดได้เท่ากับ 2.70, 2.52 และ 2.52 UA/มก. ตามลำดับ ในขณะที่เปอร์เซ็นต์ผลผลิตเหลืออยู่เพียง 6.68, 0.97 และ 0.86% ตามลำดับ

ผลจากโครมาโทร์ไฟค์ซิงนี้แสดงว่าไปรัตเตอส์ที่ผ่านการทำบริสุทธิ์ด้วยคอสัมบ์ Sephadex G-75 ในครั้งที่ 1 และ 2 ซึ่งได้พีคโปรตีอสเพียงพีคเดียวเท่านั้น มีโปรตีนทั้งหมด 3 ชนิด เท่าเดียวกับผลของการวิเคราะห์ด้วย SDS-PAGE และไอโซอะลูมิโนแคลตทริกไฟค์ซิง ซึ่งพบว่ามีโปรตีน 3 ชนิด ในสารละลายไปรัตเตอส์ที่ทำให้บริสุทธิ์เปลี่ยนตัวด้วยคอสัมบ์ Sephadex G 100-120

**ตาราง 3.35 แยกตัวตีและปริมาณโปรตีนของสารละลายไปรัตเตอส์บริสุทธิ์ที่ได้จากการทำบริสุทธิ์โดยโครมาโทร์ไฟค์ซิง**

ชนิดโปรตีอส	pH	หลอดที่	ปริมาณ (ลบ.ซม.)	แยกตัวตี		โปรตีน	
				A <sub>440</sub>	UA/ ลบ.ซม.	A <sub>595</sub>	มก./ลบ.ซม.
โปรตีอส A	7.5	109-132	49.45	0.008	0.027	0.291	0.010
โปรตีอส B	6.7	221-230	19.35	0.003	0.010	0.105	0.004
โปรตีอส C	6.3	268-270	4.30	0.006	0.020	0.212	0.008

**ตาราง 3.36 ผลผลิตของสารละลายไปรัตเตอส์ที่แยกด้วยคอสัมบ์ polybuffer exchanger 94**

ชนิดโปรตีอส	แยกตัวตีทั้งหมด (UA)	โปรตีนทั้งหมด (มก.)	แยกตัวตีจำเพาะ (UA/มก.)	% ผลผลิต
โปรตีอสเดิมต้น	20.000	3.000	6.67	100.00
โปรตีอส A	1.335	0.495	2.70	6.68
โปรตีอส B	0.194	0.077	2.52	0.97
โปรตีอส C	0.086	0.034	2.52	0.86

ตั้งนั้นจึงอาจสรุปได้ว่าเบนซีทีเจย์ F13 ผลิตเปรติอีสได้ออย่างน้อย 3 ชนิด การทำบริสุทธิ์ด้วย คอลัมน์ Sephadex G-75 (2 ครั้งแรก) หรือ G 100-120 นั้น ให้เปรติอีสติดตั้งตันมากเกินไป ทำ ให้ไม่สามารถแยกเปรติอีสสามชนิดออกจากกันได้ ทั้งนี้เมื่อพิจารณาจากผลการทำบริสุทธิ์ด้วย คอลัมน์ Sephadex G-75 ครั้งที่สาม ซึ่งใช้สารละลายเปรติอีสติดที่เข้มตันในปริมาตรที่น้อยลง เหลือ 2 ลบ.ชม. (เดิมใช้ 3 ลบ.ชม.) ทำให้พบเปรติอีสทั้งหมด 6 ชนิด แต่มี 3 ชนิดที่มีปริมาตร เพียงพอสำหรับการศึกษา ซึ่งคาดว่าเป็นเปรติอีสที่วิเคราะห์พบโดย SDS-PAGE ไอโซเลคตริก-ฟิลด์สกิงและโครงมาตราไฟฟ์สกิง